

**DETEKSI PERGERAKAN DENGAN CONVOLUTION NEURAL NETWORK**

Untuk memenuhi tugas akhir memperoleh gelar sarjana di

Muhammad Iqbal  
NIM: 13011800012

PROGRAM STUDI JURUSAN TEKNIK FAKULTAS SAINS DAN TEKNOLOGI UNIVERSITAS BRAWIJAYA

# **DETEKSI PERGERAKAN ARAH MATA MENGGUNAKAN CONVOLUTION NEURAL NETWORK BERDASARKAN FACIAL LANDMARK**

Untuk memenuhi sebagian persyaratan  
memperoleh gelar Sarjana Komputer

Disusun oleh:

Muhammad Amin Nurdin  
NIM: 135150200111013



**PROGRAM STUDI TEKNIK INFORMATIKA  
JURUSAN TEKNIK INFORMATIKA  
FAKULTAS ILMU KOMPUTER  
UNIVERSITAS BRAWIJAYA**

MALANG

2020

## PENGESAHAN

DETEKSI PERGERAKAN ARAH MATA MENGGUNAKAN *CONVOLUTION NEURAL NETWORK* BERDASARKAN *FACIAL LANDMARK*

### SKRIPSI

Untuk memenuhi sebagian persyaratan  
memperoleh gelar Sarjana Komputer

Disusun Oleh :  
Muhammad Amin Nurdin  
NIM: 135150200111013

Skripsi ini telah diuji dan dinyatakan lulus pada  
23 Juli 2020  
Telah diperiksa dan disetujui oleh:

Dosen Pembimbing I



Randy Cahya Wihandika, S.ST., M.Kom.  
NIK: 201405 880206 1 001

Dosen Pembimbing 2



Dr. Eng. Fitri Utaminingrum S.T., M.T.  
NIP: 19820710 200812 2 001

Mengetahui  
Ketua Jurusan Teknik Informatika



Ahmad Basuki, S.T., M.MG., Ph.D.  
NIP. 19741118 200312 1 002

## **PERNYATAAN ORISINALITAS**

Saya menyatakan dengan sebenar-benarnya bahwa sepanjang pengetahuan saya, di dalam naskah skripsi ini tidak terdapat karya ilmiah yang pernah diajukan oleh orang lain untuk memperoleh gelar akademik di suatu perguruan tinggi, dan tidak terdapat karya atau pendapat yang pernah ditulis atau diterbitkan oleh orang lain, kecuali yang secara tertulis disitasi dalam naskah ini dan disebutkan dalam daftar referensi.

Apabila ternyata didalam naskah skripsi ini dapat dibuktikan terdapat unsur-unsur plagiasi, saya bersedia skripsi ini digugurkan dan gelar akademik yang telah saya peroleh (sarjana) dibatalkan, serta diproses sesuai dengan peraturan perundang-undangan yang berlaku (UU No. 20 Tahun 2003, Pasal 25 ayat 2 dan Pasal 70).

Malang, 23 Juli 2020



Muhammad Amin Nurdin

NIM: 135150200111013

**Muhammad Amin Nurdin, Deteksi Pergerakan Arah Mata Menggunakan Convolution Neural Network Berdasarkan Facial Landmark**

**Pembimbing: Randy Cahya Wihandika, S.T., M.Kom. dan Dr. Eng. Fitri Utaminingrum S.T., M.T.**

Pergerakan mata manusia dapat berguna di berbagai bidang, contohnya dalam sistem keamanan, kesehatan, transportasi dan desain antarmuka. Dalam desain sistem antarmuka, pergerakan mata digunakan sebagai sistem interaktif. Sistem dapat berinteraksi dan dapat memberikan tanggapan kepada pengguna dengan menggunakan gerakan mata. Metode *eye tracking* berbasis video memiliki keuntungan karena praktis dan nyaman selama proses deteksinya. Penelitian ini menggunakan algoritme *Convolution Neural Network* (CNN) karena akan memanfaatkan kelebihan dari metode CNN yaitu mampu mengklasifikasikan dan memiliki hasil paling signifikan dalam pengenalan objek. Hasil dari penelitian ini menunjukkan model CNN yang tepat digunakan dalam klasifikasi arah mata berdasarkan *facial landmark* adalah dengan 2 *layer* dengan 32 filter dan 64 filter, batch size 16 dalam augmentasi citra dengan 20 *fully connected layer* menghasilkan nilai *loss* 0,08, dengan akurasi 0,98 dan waktu pelatihan 8,62 detik. Hasil uji terhadap video yang diambil 50 *frame* secara acak sebanyak tiga kali, menghasilkan rata-rata akurasi sebesar 0,95.

Kata kunci: gerakan mata, facial landmark, convolution neural network.

## ABSTRAK

**Muhammad Amin Nurdin, *Ey***  
**Convolution Neural Network base**  
**Supervisors: Randy Cahya Wih**  
**Utaminingrum S.T., M.T.**  
*The movement of the hu*  
*example in security systems, health*  
*design interface systems, eye mo*  
*system can interact and responses*  
*based eye tracking method has the*  
*during the detection process. This*  
*(CNN) algorithm because it will u*  
*classify and have the most signific*  
*this study indicate that the CNN n*  
*eye direction based on facial landr*  
*filters, batch size 16 in image a*  
*resulting loss value of 0.08, with an*  
*time. Test results on videos taken 5*  
*average accuracy of 0.95.*  
*Keywords: eye movement, facial la*

## ABSTRACT

Muhammad Amin Nurdin, *Eye Direction Movements Detection using Convolution Neural Network based on Facial Landmark.*

**Supervisors:** Randy Cahya Wihandika, S.S.T., M.Kom. and Dr. Eng. Fitri Utaminingrum S.T., M.T. Brawijaya Repository Universitas Brawijaya

The movement of the human eye can be useful in various fields, for example in security systems, health, transportation and design interface. In the design interface systems, eye movement used as an interactive system. The system can interact and responses to users by using eye movements. The video-based eye tracking method has the advantage of being practical and convenient during the detection process. This study uses the Convolution Neural Network (CNN) algorithm because it will utilize the advantages of the CNN method to classify and have the most significant results in object recognition. The results of this study indicate that the CNN model that good to use in the classification of eye direction based on facial landmarks is with 2 layers contain 32 filters and 64 filters, batch size 16 in image augmentation with 20 fully connected layers resulting loss value of 0.08, with an accuracy of 0.98 and 8.62 seconds in training time. Test results on videos taken 50 frames randomly three times, resulting in an average accuracy of 0.95.

**Keywords:** eye movement, facial landmark, convolution neural network

DAFTAR ISI	viii
PENGESAHAN	1
PERNYATAAN ORISINALITAS	2
PRAKATA	3
ABSTRAK	4
ABSTRACT	5
DAFTAR ISI	6
DAFTAR TABEL	x
DAFTAR GAMBAR	xii
DAFTAR LAMPIRAN	xiii
BAB 1 PENDAHULUAN	1
1.1 Latar Belakang	1
1.2 Rumusan Masalah	2
1.3 Tujuan	2
1.4 Manfaat	3
1.5 Batasan Masalah	3
1.6 Sistematika Pembahasan	3
BAB 2 LANDASAN KEPUSTAKAAN	5
2.1 Kajian Pustaka	5
2.2 Landasan Teori	6
2.2.1 Citra Digital	6
2.2.2 Jenis Citra	7
2.2.3 Machine Learning	8
2.2.4 Deep Learning	8
2.2.5 Convolution Neural Network (CNN)	9
2.2.6 Python	11
BAB 3 METODOLOGI PENELITIAN	12
3.1 Tipe Penelitian	12
3.2 Strategi penelitian	12
3.2.1 Lokasi Penelitian	13
3.2.2 Teknik Pengumpulan Data	13

Repository Universitas Brawijaya	Repository Universitas Brawijaya
Repository Universitas Brawijaya	Repository Universitas Brawijaya
Repository Universitas Brawijaya	Repository Universitas Brawijaya
Repository Universitas Brawijaya	Repository Universitas Brawijaya
Repository Universitas Brawijaya	Repository Universitas Brawijaya
Repository Universitas Brawijaya	Repository Universitas Brawijaya
Repository Universitas Brawijaya	3.2.3 Peralatan Pendukung.....
Repository Universitas Brawijaya	14
Repository Universitas Brawijaya	BAB 4 PERANCANGAN.....
Repository Universitas Brawijaya	15
Repository Universitas Brawijaya	4.1 Perancangan Proses CNN.....
Repository Universitas Brawijaya	15
Repository Universitas Brawijaya	4.1.1 Ekstraksi Mata.....
Repository Universitas Brawijaya	16
Repository Universitas Brawijaya	4.1.2 Augmentasi Data.....
Repository Universitas Brawijaya	17
Repository Universitas Brawijaya	4.1.3 Inisialisasi Model.....
Repository Universitas Brawijaya	18
Repository Universitas Brawijaya	4.1.4 Pelatihan Model.....
Repository Universitas Brawijaya	19
Repository Universitas Brawijaya	4.2 Perhitungan Manualisasi .....
Repository Universitas Brawijaya	20
Repository Universitas Brawijaya	4.3 Skenario Pengujian .....
Repository Universitas Brawijaya	27
Repository Universitas Brawijaya	4.3.1 Skenario Pengujian Loss dan Akurasi CNN.....
Repository Universitas Brawijaya	27
Repository Universitas Brawijaya	4.3.2 Skenario Pengujian CNN pada video.....
Repository Universitas Brawijaya	28
Repository Universitas Brawijaya	BAB 5 IMPLEMENTASI .....
Repository Universitas Brawijaya	29
Repository Universitas Brawijaya	5.1 Lingkungan Implementasi .....
Repository Universitas Brawijaya	29
Repository Universitas Brawijaya	5.1.1 Lingkungan Perangkat Keras .....
Repository Universitas Brawijaya	29
Repository Universitas Brawijaya	5.1.2 Subbab Lima Satu Dua .....
Repository Universitas Brawijaya	29
Repository Universitas Brawijaya	5.2 Implementasi Algoritme <i>Library</i> .....
Repository Universitas Brawijaya	30
Repository Universitas Brawijaya	5.2.1 Implementasi Ekstraksi Citra Mata.....
Repository Universitas Brawijaya	30
Repository Universitas Brawijaya	5.2.2 Implementasi Augmentasi Data.....
Repository Universitas Brawijaya	31
Repository Universitas Brawijaya	5.2.3 Implementasi Penentuan Arsitektur CNN.....
Repository Universitas Brawijaya	32
Repository Universitas Brawijaya	5.2.4 Implemestasi Proses Pembelajaran CNN.....
Repository Universitas Brawijaya	33
Repository Universitas Brawijaya	5.2.5 Implementasi Pengujian <i>Random Sampling Video</i> .....
Repository Universitas Brawijaya	33
Repository Universitas Brawijaya	BAB 6 PENGUJIAN DAN ANALISIS.....
Repository Universitas Brawijaya	36
Repository Universitas Brawijaya	6.1 Pengujian Loss dan Akurasi pada Data .....
Repository Universitas Brawijaya	36
Repository Universitas Brawijaya	6.2 Pengujian Akurasi pada Video .....
Repository Universitas Brawijaya	39
Repository Universitas Brawijaya	BAB 7 Penutup .....
Repository Universitas Brawijaya	41
Repository Universitas Brawijaya	7.1 Kesimpulan.....
Repository Universitas Brawijaya	41
Repository Universitas Brawijaya	7.2 Saran .....
Repository Universitas Brawijaya	41
Repository Universitas Brawijaya	DAFTAR REFERENSI .....
Repository Universitas Brawijaya	42
Repository Universitas Brawijaya	LAMPIRAN A HASIL RANDOM SAMPLING PERCOBAAN 1.....
Repository Universitas Brawijaya	44
Repository Universitas Brawijaya	LAMPIRAN B HASIL RANDOM SAMPLING PERCOBAAN 2.....
Repository Universitas Brawijaya	45
Repository Universitas Brawijaya	LAMPIRAN C HASIL RANDOM SAMPLING PERCOBAAN 3.....
Repository Universitas Brawijaya	46

**DAFTAR TABEL**

Tabel 2.1 Kajian Pustaka .....	6
Tabel 4.1 Perancangan Kedalaman Model .....	19
Tabel 4.2 Skenario Pengujian <i>Loss</i> dan Akurasi .....	27
Tabel 4.3 Skenario pengujian <i>random sampling</i> video .....	28
Tabel 5.1 Lingkungan Perangkat Keras .....	29
Tabel 5.2 Lingkungan Perangkat Lunak .....	29
Tabel 5.3 Implementasi Extraksi Citra Mata .....	30
Tabel 5.4 Implementasi Augmentasi Data .....	31
Tabel 5.5 Implementasi Arsitektur CNN .....	32
Tabel 5.6 Implementasi Pelatihan CNN .....	33
Tabel 5.7 Implementasi Pengujian <i>Random Sampling</i> Video .....	33
Tabel 6.1 Model CNN .....	36
Tabel 6.2 Hasil Perekaman Nilai <i>Loss</i> .....	36
Tabel 6.3 Hasil Perekaman Nilai <i>Loss</i> (lanjutan) .....	37
Tabel 6.4 Hasil Perekaman Nilai Akurasi .....	37
Tabel 6.5 Hasil Perekaman Nilai Akurasi (lanjutan) .....	38
Tabel 6.6 Waktu komputasi proses <i>learning</i> .....	38
Tabel 6.7 Waktu komputasi proses <i>learning</i> (lanjutan) .....	39
Tabel 6.8 Hasil akurasi <i>random sampling</i> video .....	39

**DAFTAR GAMBAR**

Gambar 2.1 Diagram blok sistem penelitian Aji Atturmudzi.....	5
Gambar 2.2 Citra Warna RGB.....	7
Gambar 2.3 Citra Warna Greyscale.....	7
Gambar 2.4 Citra Warna Biner.....	8
Gambar 2.5 Layer-layer pada Deep Learning .....	9
Gambar 2.6 Arsitektur Convolution Neural Network .....	10
Gambar 2.7 Proses <i>Convolution Layer</i> .....	10
Gambar 2.8 Pooling Layer Metode <i>Max Polling</i> .....	11
Gambar 3.1 Strategi Penelitian.....	12
Gambar 3.2 Citra Hasil Pengumpulan Data .....	13
Gambar 4.1 Diagram Alir Secara Umum.....	15
Gambar 4.2 Proses Ekstraksi Citra Mata.....	16
Gambar 4.3 Hasil Deteksi Mata dengan <i>Facial Landmark</i> .....	17
Gambar 4.4 Contoh Augmentasi Citra Mata.....	17
Gambar 4.5 Perancangan Model.....	18
Gambar 4.6 Contoh Citra Perhitungan Manual .....	20
Gambar 4.7 Contoh Citra dalam Bentuk Angka dengan <i>Padding</i> .....	20
Gambar 6.1 Grafik Loss pada Tiap Model .....	37
Gambar 6.2 Grafik Akurasi Setiap Model.....	38
Gambar 6.3 Contoh Hasil Klasifikasi Arah Mata yang Benar .....	40
Gambar 6.4 Contoh Hasil Klasifikasi Arah Mata yang Salah .....	40

## **DAFTAR LAMPIRAN**

LAMPIRAN A HASIL RANDOM SAMPLING PERCOBAAN 1.....	44
LAMPIRAN B HASIL RANDOM SAMPLING PERCOBAAN 2.....	45
LAMPIRAN C HASIL RANDOM SAMPLING PERCOBAAN 3.....	46

## 1.1 Latar Belakang

Di masa sekarang perangkat komputer semakin mudah digunakan oleh berbagai macam pengguna. Berbagai penelitian di bidang *Human Computer Interaction* (HCI) memiliki peran dalam membuat desain dari suatu sistem yang membuat sebuah perangkat komputer dapat digunakan secara intuitif. Mata manusia merupakan salah satu objek yang menarik. Pandangan dari wajah menentukan garis penglihatan. Jadi, arah mata dapat mengekspresikan kepentingan pengguna dan tatapannya dapat digunakan untuk menafsirkan maksud dari pengguna sebagai media interaksi. Memasukkan gerakan mata ke dalam interaksi antara manusia dan komputer memberikan banyak manfaat potensial (Othera, et al., 2007). Pergerakan mata manusia juga berguna di berbagai bidang, contohnya dalam sistem keamanan, kesehatan, transportasi dan desain antarmuka. Dalam bidang keamanan, posisi mata dapat digunakan dalam membantu proses pengenalan jenis kelamin dan ekspresi wajah pengguna (Kroon, et al., 2009).

Pada bidang kesehatan, pergerakan mata digunakan untuk mendeteksi adanya suatu penyakit, contohnya adalah vertigo. Penyakit vertigo sering ditandai dengan terdapatnya pergerakan mata yang dilakukan secara tidak sadar (Pavlin-Premrl, et al., 2015). Dalam bidang sistem transportasi cerdas, pergerakan dari mata dapat digunakan untuk mengukur tingkat perhatian dari pengemudi dan mengidentifikasi tingkat kantuk pada pengemudi (Edenborough, et al., 2015). Sedangkan dalam desain sistem antarmuka, pergerakan mata digunakan sebagai sistem interaktif. Sistem dapat berinteraksi dan dapat memberikan tanggapan kepada pengguna dengan menggunakan gerakan mata (Duchowski, 2002).

Baru-baru ini teknik deteksi mata berbasis video telah banyak dipelajari. Dibandingkan dengan metode pelacakan tatapan berbasis *image*, metode *eye tracking* berbasis video memiliki keuntungan karena praktis dan nyaman selama proses deteksinya (Othera, et al., 2007). Kawato, et al. (2006) melakukan metode deteksi tatapan menggunakan empat titik referensi yang diletakkan di wajah dan tiga gambar kalibrasi. Matsumoto, et al. (2000) melakukan penelitian dengan menggunakan sistem *real-time stereo vision* untuk memperkirakan arah pandangan. Wang, et al., (2001) menggunakan metode untuk memperkirakan arah pandangan dengan mengukur perubahan kontur iris. Umumnya, deteksi berdasarkan pengukuran mata dengan akurasi tinggi biayanya mahal, karena memerlukan kamera *pan-tilt / zoom-in* dengan resolusi yang cukup tinggi untuk mengukur kontur iris atau pupil yang akurat (Wang, et al., 2001).

Metode yang menggunakan gerakan iris yang *di-capture* oleh kamera tunggal dengan resolusi rendah dengan kondisi pose kepala tertentu dilakukan oleh Hammal, et al. (2005) dan Benoit, et al. (2005). Metode ini menggunakan gradien luminance untuk mengekstrak lingkaran iris dan tepi mata. Oleh karena itu, perlu

Repository Universitas Brawijaya  
Repository Universitas Brawijaya untuk menentukan posisi kasar mata terlebih dahulu. Ekstraksi fitur iris sangat penting dalam algoritme yang mendeteksi pandangan dari gerakan iris. Ohtera, et al. (2006) mencoba menggunakan algoritme ekstraksi iris yang tepat berdasarkan transformasi *Hough*. Namun, metode tersebut tidak dapat mendeteksi pergerakan sub-piksel dan perubahan *Hough* memerlukan waktu operasi yang lama.

Metode lain yang banyak digunakan juga adalah metode *Convolution Neural Network* (CNN) yang termasuk salah satu algoritme dari Deep Learning. Jaringan ini dibuat dengan input berupa citra dan memiliki berbagai macam lapisan. Pada setiap lapisan ini, citra input akan menghasilkan pola-pola yang nantinya akan lebih mudah untuk diklasifikasikan. Menurut Suartika (2016), saat ini penggunaan CNN memberikan hasil yang baik dalam pengenalan citra karena CNN berusaha meniru sistem pengenalan citra pada manusia. Penelitian mengenai pengolahan citra yang lain dengan algoritme CNN menghasilkan nilai akurasi yang bagus, misalnya penelitian yang dilakukan oleh Abhirawa, (2017) tentang pengenalan wajah dengan menggunakan *Convolution Neural Network* memiliki tingkat akurasi 0,8973.

Berdasarkan uraikan diatas, peneliti mengusulkan penelitian yang berjudul “Deteksi Posisi dan Arah Mata Menggunakan Convolution Neural Network Berdasarkan Facial Landmark”. Penelitian ini menggunakan algoritme *Convolution Neural Network* karena CNN mampu mengklasifikasikan dan memiliki hasil paling signifikan dalam pengenalan objek (Suartika, 2016).

Dalam penelitian ini, kami berkonsentrasi pada pendekatan berbasis video, dan mengembangkan sistem deteksi mata sederhana dengan hanya menggunakan sebuah kamera. Tujuan dari deteksi menggunakan *Convolution Neural Network* berdasarkan *Facial Landmark* adalah untuk mendeteksi dan mengevaluasi algoritme ini dalam mendeteksi arah pandangan mata agar dapat diketahui kelemahan sistem supaya dapat diperbaiki kemudian.

## 1.2 Rumusan Masalah

Berdasarkan uraian yang disampaikan dari latar belakang diatas, maka rumusan masalah dalam penelitian ini sebagai berikut:

1. Bagaimana membangun model *Convolution Neural Network* berdasarkan *Facial Landmark* dalam mengklasifikasikan arah mata pada citra?

## 1.3 Tujuan

Berdasarkan latar belakang dan rumusan masalah yang telah dijabarkan diatas, penelitian ini memiliki tujuan sebagaimana berikut

1. Membangun model *Convolution Neural Network* berdasarkan *Facial Landmark* untuk mengklasifikasikan arah mata pada citra menggunakan

## 1.4 Manfaat

Berdasarkan latar belakang, rumusan masalah dan tujuan yang telah dijabarkan, penelitian ini mempunyai manfaat sebagaimana berikut:

- Memberikan referensi dalam pengembangan proses klasifikasi dalam bidang ilmu komputasi cerdas.

## 1.5 Batasan Masalah

Berdasarkan latar belakang dan rumusan masalah yang telah dijabarkan, supaya pembahasan yang dilakukan dalam penelitian ini dapat lebih fokus dan terarah, maka perlu ditetapkan beberapa batasan sebagai berikut

1. Pengambilan citra dilakukan di tempat yang memiliki cukup cahaya.
  2. Hasil *capture* harus terdapat seluruh bagian wajah dan menghadap tegak lurus.
  3. Jarak dari kamera antara 50-100 cm.

## 1.6 Sistematika Pembahasan

Sistematika dalam penulisan penelitian ini sebagai berikut:

## BAB I Pendahuluan

Bab ini menjelaskan tentang latar belakang, rumusan masalah, tujuan, manfaat, batasan masalah dan sitematika penyusunan laporan.

BAB II Landasan Kepustakaan

Bab ini menjelaskan landasan teori-teori yang berkaitan dengan penelitian. Bab ini juga menjelaskan tentang penelitian serupa yang sudah pernah dilakukan

sebelumnya.

Bab ini menjelaskan tentang uraian lengkap langkah-langkah dan tahapan penelitian demi mencapai tujuan penelitian.

BAB IV Perancangan

Bab ini membahas tentang perancangan dari sistem

RAP VII Implementació

Bab ini menjelaskan tentang implementasi sistem yang terdiri dari penerapan metode yang digunakan

BAB VI Penutup dan Analisis

Bab ini membahas tentang hasil pengujian yang dilakukan apabila sistem sudah selesai dirancang dan diimplementasi. Pengujian tersebut dilakukan untuk melakukan uji coba terhadap sistem dan melakukan pembahasan terhadap hasilnya.

## **BAB VII Penutup**

Bab ini berisi tentang saran dan kesimpulan dari hasil pengujian sistem yang dapat digunakan pada masa mendatang.

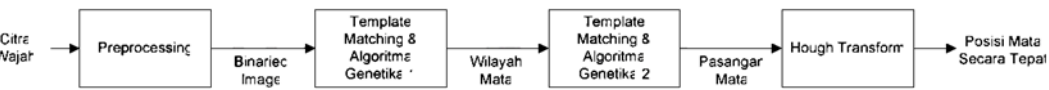
Repository Universitas Brawijaya  
Repository Universitas Brawijaya

## **BAB 2 LANDASAN KEPUSTAKAAN**

### **2.1 Kajian Pustaka**

Tinjauan pustaka dilakukan dengan menganalisa dan membandingkan metode-metode yang digunakan pada penelitian sebelumnya untuk proses deteksi mata. Penelitian sebelumnya yang dilakukan Muhammad Syarif & Wijanarto (2015), menggunakan metode *Haar Cascade Classifier* untuk mendeteksi bagian mata. Hasil deteksi kemudian dianalisis *contour*-nya untuk menentukan kedipan mata.

Penelitian yang dilakukan Aji Atturmudzi (2008) tentang deteksi mata menggunakan *Template Matching*, Algoritme Genetika dan *Hough Transform*. Citra *input* merupakan citra wajah yang dilakukan preprocessing untuk dihasilkan citra biner. *Template Matching* dan Algoritme Genetika digunakan untuk mendeteksi wilayah mata dan *Hough Transform* digunakan untuk menentukan posisi mata secara tepat. Diagram blok sistem dapat dilihat pada Gambar 2.1.



**Gambar 2.1 Diagram blok sistem penelitian Aji Atturmudzi**

Sumber: Atturmudzi, et al. (2008)

Pada penelitian ini tahap *pre-processing* yang dilakukan menggunakan *homomorphic filtering* yang sangat berpengaruh pada pendekstrian wilayah mata menggunakan *template matching*. Algoritme genetika dikombinasikan dengan *template matching* untuk menghasilkan solusi yang lebih baik dan lebih cepat.

Penelitian yang dilakukan Danukusumo (2017) dalam implementasi *Convolution Neural Network* untuk melakukan klasifikasi pada gambar candi dengan menggunakan Graphic Processing Unit (GPU) untuk menganalisa kinerja pelatihan dari model yang sudah dibuat menghasilkan akurasi sebesar 0,9899 pada data *training* dan 0,8557 pada data uji. Sehingga dapat disimpulkan bahwa algoritme CNN dapat digunakan untuk klasifikasi citra candi dengan sangat baik.

Abhirawa (2017) melakukan penelitian menggunakan *Convolution Neural Network* untuk pengenalan wajah, hasilnya menunjukkan tingkat akurasi pengenalan setinggi 0,8973 pada data *learning* dan akurasi pengenalan setinggi 0,7579 apabila dilakukan pengujian terhadap data *testing*.

**Tabel 2.1 Kajian Pustaka**

No	Judul	Objek	Metode Proses	Keterangan
1	Convolution Neural Networks Untuk Pengenalan Wajah Secara Real-Time	Wajah Manusia	Convolution Neural Network	Kinerja pengenalan wajah meraih rata-rata tingkat akurasi lebih dari 0,89 dalam 2 frame per detik.
2	Implementasi Metode Convolution Neural Network Untuk Klasifikasi Tanaman Pada Citra Resolusi Tinggi	Teknologi UAV (Unmanned Aerial Vehicle)	Convolution Neural Network	Penelitian menggunakan 5 kelas tanaman, yaitu padi, bawang merah, kelapa, pisang, cabai. Proses learning menghasilkan akurasi 1,00 terhadap data training. Pengujian validasi menghasilkan akurasi 0,93 dan terhadap data tes sebesar 0,82
3	Penerapan Deep Learning Menggunakan Convolution Neural Network Untuk Klasifikasi Cltra Wayang Punakawan	Citra Wayang Punakawan	Convolution Neural Network	Hasil dari model yang diuji menghasilkan akurasi terhadap 0,916 terhadap citra uji.
4	Implementasi Convolution Neural Networks untuk Klasifikasi Citra Tomat Menggunakan Keras	Citra Tomat	Convolution Neural Network	Pengujian terhadap 100 sampel tomat menghasilkan akurasi sebesar 0,9 dan dinilai mampu melakukan identifikasi kelayakan tomat.
5	<i>Convolution Neural Networks for Handwritten Javanese Character Recognition</i>	Javanese Character	Convolution Neural Network	Hasil dari pengujian CNN mampu lebih baik dari model MLP dengan waktu latih yang lebih lama.

## 2.2 Landasan Teori

### 2.2.1 Citra Digital

Citra merupakan sebuah informasi visual yang diperoleh dari penangkapan intensitas cahaya yang dipantulkan oleh suatu objek. Sumber cahaya menerangi objek dan sebagian dari cahaya tersebut dipantulkan kembali. Cahaya yang dipantulkan tersebut kemudian ditangkap oleh benda optis yang dapat merekam intensitas cahaya, misalnya mata, kamera, dan sebagainya.

Citra digital merupakan representasi dari citra 2 dimensi yang merupakan kelompok data digital yang memiliki nilai data pada setiap piksel. Piksel

## 2.2.2 Jenis Citra

Suatu piksel dalam citra memiliki rentang nilai tertentu dan jangkauan nilainya berbeda tergantung jenisnya. Nilai jangkauan suatu piksel biasanya adalah 0-255. Berikut ini adalah jenis citra berdasarkan nilai tiap piksel.

### 1. Citra warna (RGB)

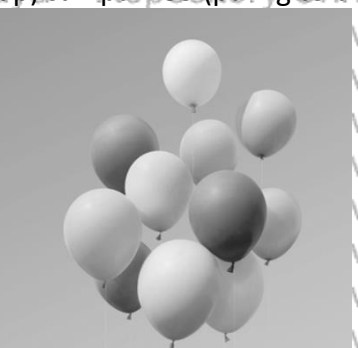
Citra berwarna tersusun dari 3 lapisan matriks yang menunjukkan nilai dari warna R (merah), G (hijau) dan B (Biru). Intensitas masing-masing lapisan memiliki rentang nilai 8 bit, sehingga jumlah keseluruhan menjadi 24-bit warna (Putra, 2010).



Gambar 2.2 Citra Warna RGB

### 2. Citra keabuan (greyscale)

Citra greyscale adalah citra yang tersusun dari warna hitam, keabuan, dan putih. Citra ini hanya memiliki satu lapisan matriks. Warna keabuan memiliki rentang dari 0 (paling gelap) sampai 255 (paling terang) (Putra, 2010).



Gambar 2.3 Citra Warna Greyscale

### 3. Citra biner

Citra biner adalah citra yang memiliki dua kemungkinan warna, yaitu hitam dan putih. Citra biner hanya memiliki rentang nilai 1 bit untuk menyimpan informasi warna tiap pikselnya. Citra biner sering digunakan pada proses segmentasi dan morfologi (Putra, 2010).



## Gambar 2.4 Citra Warna Biner

### **2.2.3 Machine Learning**

*Machine Learning* adalah salah satu bagian dalam *Artificial Intelligence* yang sering dipakai untuk menirukan perilaku manusia dalam penyelesaian suatu masalah dan membuat melakukan potomatisasi dengan cara mencoba meneladani manusia dalam proses belajar dan menggeneralisasi sesuatu.

Dalam *machine learning* terdapat proses training dan *testing*. Kedua proses tersebut memerlukan data. Data *training* digunakan untuk melatih algoritme *machine learning*, sedangkan data *testing* digunakan pada data yang baru selain yang terdapat pada data *training*. Hasil dari data *testing* digunakan untuk mengetahui performa dan akurasi ketika menemukan data baru yang belum pernah dilihat.

Menurut Ahmad (2017) terdapat 2 aplikasi dalam *machine learning* yaitu, klasifikasi dan prediksi. Klasifikasi yang terdapat dalam *machine learning* digunakan untuk memilih/mengklasifikasikan berdasarkan ciri-ciri khusus yang terdapat dalam obyek. Prediksi digunakan oleh untuk memperkirakan *output* berdasarkan data *training*. Terdapat 4 jenis metode pembelajaran dalam *machine learning*, yaitu:

1. *Supervised Learning*
  2. *Unsupervised Learning*
  3. *Semi-supervised Learning*
  4. *Reinforcement Learning*

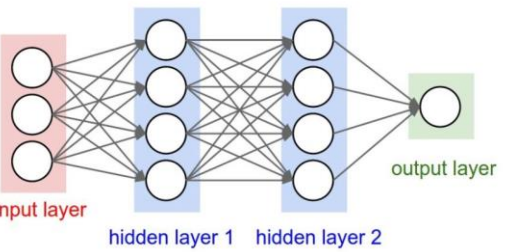
## 2.2.4 Deep Learning

*Deep Learning* adalah salah satu cabang dari *Machine Learning* yang berlandaskan pada jaringan saraf tiruan yang dapat membuat komputer untuk

melakukan pembelajaran dari contoh-contoh data yang dilatihkan. Dalam *Deep Learning*, komputer dapat belajar secara langsung dari gambar, suara, teks, dll.

*Deep Learning* tersusun dari *input layer*, *hidden layer* dan *output layer*. *Input layer* berisikan *node-node* yang menyimpan nilai data masukan. *Hidden layer* dapat dibentuk dengan beberapa lapisan untuk menemukan komposisi algoritme yang tepat supaya dapat mengurangi *error* pada *output*. Kemudian fungsi aktivasi pada *hidden layer* kemudian menghasilkan *output layer* yang datanya berasal dari *input layer*.

Arsitektur dalam *Deep Learning* memiliki 3 bagian, yaitu terdiri dari *input layer*, *hidden layer*, dan *output layer* yang ditunjukkan pada Gambar 2.6 dan disebut sebagai *Multi Layer Perceptron* (MLP).

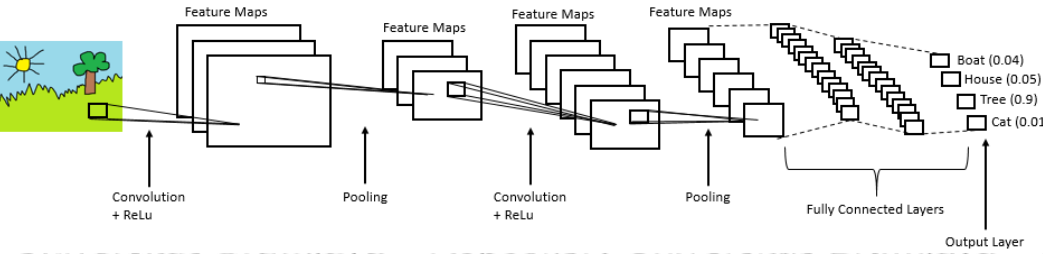


**Gambar 2.5 Layer-layer pada Deep Learning**

*Deep Learning* dapat memungkinkan membuat model komputasi yang tersusun dari beberapa *processing layer* untuk mempelajari pola pada sebuah data dalam berbagai tingkatan. Metode ini banyak digunakan dalam deteksi objek, pengenalan suara, dll. Algoritme yang menggunakan *Deep Learning* salah satunya adalah *Convolution Neural Network* (CNN) untuk melakukan klasifikasi sebuah citra.

### 2.2.5 Convolution Neural Network (CNN)

*Convolution Neural Network* (CNN) adalah salah satu algoritme penerapan daripada *Deep Learning* yang merupakan pengembangan dari *Multi Layer Perceptron* (MLP). Algoritme ini sangat cocok untuk mengolah data dalam bentuk grid, contohnya data dalam bentuk gambar. *Convolution Neural Network* digunakan untuk mengklasifikasikan data yang sudah diberikan label dengan menggunakan metode *supervised learning*. Dalam *supervised learning* terdapat dua macam jenis data, yaitu data yang dilatih dan terdapat pula data nilai target tujuannya. Metode *supervised learning* ini bertujuan untuk mengelompokan suatu data. CNN sering digunakan untuk mengenali benda-benda, melakukan deteksi atau segmentasi pada objek.

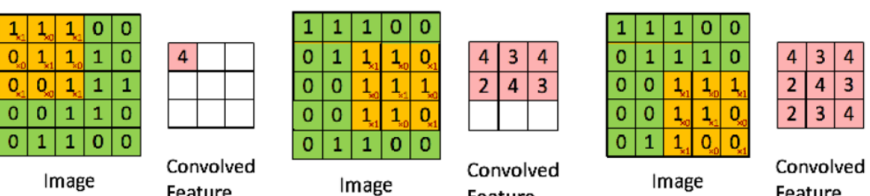


**Gambar 2.6 Arsitektur Convolution Neural Network**

Arsitektur yang dimiliki oleh *Convolution Neural Network* dapat dilihat pada Gambar 2.6 dan dapat dijelaskan sebagai berikut:

### 1. Convolution Layer

*Convolution layer* merupakan hasil operasi konvolusi pada citra atau *output* dari lapisan sebelumnya. Layer ini merupakan proses paling mendasar dari algoritme CNN. Konvolusi mengaplikasikan sebuah *kernel* pada citra seperti yang ditunjukkan sebagai kotak kuning pada Gambar 2.8, kotak berwarna hijau adalah citra yang akan dilakukan proses konvolusi. *Kernel* digerakkan dari bagian kiri atas menuju bagian kanan bawah gambar, sehingga hasil dari proses konvolusi citra tersebut dapat dilihat pada Gambar 2.8.



**Gambar 2.7 Proses Convolution Layer**

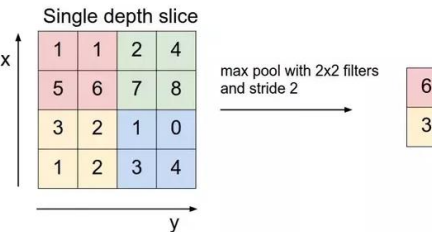
Tujuan dari proses konvolusi pada citra adalah untuk melakukan ekstraksi fitur. Hasil dari konvolusi berupa transformasi linear sesuai dengan informasi spasial pada data citra input.

### 2. Pooling Layer

*Pooling Layer* adalah lapisan dalam CNN yang menggunakan fungsi *feature map* untuk diolah dengan berbagai macam operasi statistik berdasarkan nilai piksel di sekitarnya. *Pooling layer* umumnya ditaruh setelah proses *convolution layer*. *Pooling layer* yang berada di antara lapisan konvolusi secara berurutan dalam arsitektur model *Convolution Neural Network* dapat secara signifikan dapat mengurangi jumlah data pada *output feature map*, sehingga jumlah kalkulasi yang diperlukan dalam jaringan dapat berkurang.

Berbagai jenis *pooling layer* digunakan dalam CNN adalah dengan mengambil nilai maksimal (*max-pooling*) atau nilai rata-rata (*average pooling*) dari bagian-bagian piksel pada citra. Metode *pooling* yang umum digunakan

Repository Universitas Brawijaya  
adalah metode *max-pooling*.  
Gambar 2.8.



Repository Universitas Brawijaya  
Proses dari *max-pooling* ditunjukkan pada

### 3. Fully Connected Layer

*Fully connected layer* adalah suatu lapisan yang semua neuron aktivasi terhubung satu dengan lainnya. *Fully connected layer* digunakan dalam pelatihan *Multi Layer Perceptron* (MLP) yang bertujuan untuk melakukan transformasi supaya dapat diklasifikasikan secara linear.

Terdapat perbedaan antara *fully connected layer* dan *convolution layer*. Neuron pada *fully connected layer* semuanya saling terhubung sedangkan pada *convolution layer* yang terhubung hanya beberapa daerah tertentu pada bagian input.

## 2.2.6 Python

Python adalah salah satu jenis bahasa pemrograman tingkat tinggi. Bahasa ini termasuk produk yang *free*, bersifat *opensource* dan dapat dijalankan di berbagai platform. Python termasuk bahasa yang jelas dan memiliki dukungan yang baik terhadap *input/output*, angka, gambar dan *plotting*. Bahasa ini memiliki sintaksis yang ringkas dan mudah digunakan. Python memiliki beberapa kelebihan dari bahasa pemrograman lain terlebih lagi dalam hal banyaknya modul yang dimilikinya.

Di dalam pemrograman *computer vision*, sering dilakukan reprentasi vektor dan matriks dan operasi terhadapnya (Solem, 2012). Python memiliki modul NumPy yang akan merepresentasikan vektor dan matriks dalam bentuk *array*. Untuk memvisualisasikan *output* dapat digunakan modul *Matplotlib* dan untuk operasi matematika tingkat lanjut, dapat menggunakan modul *SciPy*.

*dlib* adalah salah satu *library cross-platform* yang terdapat pada python yang memuat algoritme *Facial Landmark Detector*. *Facial Landmark Detector* adalah algoritme yang telah dibuat untuk dapat mendeteksi bagian-bagian wajah seperti mulut, hidung, mata dll, dalam waktu mili-detik dengan akurasi tinggi (Kazemi, et al., 2014). *Facial Landmark* yang diterapkan dalam *library* ini menggunakan 68 titik pada dataset *IBUG 300-W*.

Repository Universitas Brawijaya  
Repository Universitas Brawijaya

### **BAB 3 METODOLOGI PENELITIAN**

Bab ini menjelaskan tentang langkah-langkah metodologi yang digunakan untuk melakukan penelitian tentang deteksi posisi dan arah mata menggunakan *convolution neural network*.

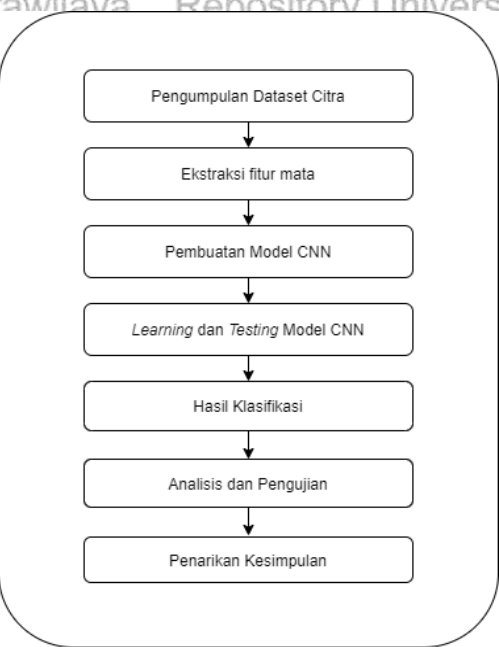
#### **3.1 Tipe Penelitian**

Tipe penelitian yang dilakukan pada penelitian ini adalah non-implementatif diskriptif yang menerapkan metode-metode tententu terhadap permasalahan.

Pada penelitian dijelaskan pula karakteristik dari objek yang diteliti dan akan disampaikan hasil dari analisis penelitian.

#### **3.2 Strategi penelitian**

Strategi penelitian menjelaskan alur dari jalannya sebuah sistem *input* berupa citra dengan objek merupakan wajah seseorang. Citra tersebut dilakukan *pre-processing*, dan ekstraksi fitur wajah khususnya pada mata dengan menggunakan *facial landmark*. Secara garis besar, strategi penelitian ini ditunjukkan pada Gambar 3.1.



**Gambar 3.1 Strategi Penelitian**

Berdasarkan pada Gambar 3.1, proses penelitian dimulai dari pengumpulan dataset citra yang digunakan dalam proses *training* dan *testing*. Selanjutnya dibentuklah metode CNN yang diharapkan dapat mengklasifikasikan citra mata.

Hasil dari perancangan CNN kemudian diterapkan pada data *training* supaya komputer dapat mengenali klasifikasi dari citra. Setelah itu hasil *training* dilakukan uji coba untuk mengetahui hasil akurasi.

## 3.2.1 Lokasi Penelitian

### **3.2.1 Lokasi Penelitian**

Lokasi penelitian berada di wilayah Universitas Brawijaya, tepatnya Ruang 4.2 Gedung F, lantai 4, Fakultas Ilmu Komputer.

### **3.2.2 Teknik Pengumpulan Data**

Data yang digunakan adalah data citra wajah seseorang yang diambil secara manual dengan *smartphone* dan menyimpan citra wajah dengan arah mata yang berbeda-beda. Objek yang digunakan dalam penelitian ini yaitu:

1. Citra wajah orang yang digunakan tampak seluruh bagian wajah, dan dengan posisi tegak lurus dengan arah mata yang berbeda-beda.
  2. Kelas yang digunakan berdasarkan posisi gerakan mata pada wajah, yaitu tengah, kiri, atas, kanan dan bawah.

Data berupa citra hasil dari proses pengumpulan dikelompokkan berdasarkan kelasnya masing-masing. Contoh hasil pengumpulan data yang sudah dinamai berdasarkan kelasnya ditampilkan pada Gambar 3.2.



### Gambar 3.2 Citra Hasil Pengumpulan Data

### **3.2.3 Peralatan Pendukung**

Peralatan pendukung adalah alat penunjang proses penelitian yang diperlukan dalam pengembangan sistem supaya berjalan sesuai harapan. Kebutuhan peralatan pendukung dari penelitian ini sebagai berikut.

#### **1. Spesifikasi hardware.**

Laptop dengan spesifikasi Prosesor Intel(R) Core(TM) i3-8135U @2.1Ghz, dengan RAM 8GB DDR3 dan ruang penyimpanan 512GB SSD.

*Smartphone Sony Xperia XZ1 dengan kamera beresolusi 19MP.*

#### **2. Spesifikasi software.**

Sistem operasi menggunakan Windows 10 64 bit build 1903, Microsoft Office 2019, IDE Spyder dengan Python 3.7.

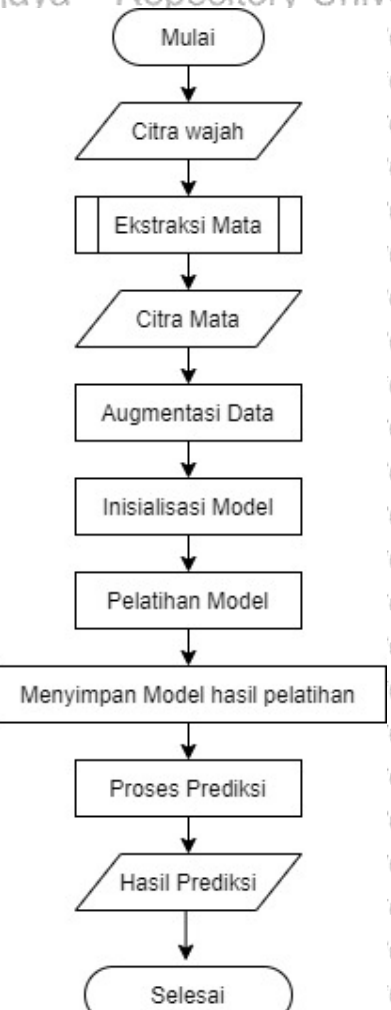
Repository Universitas Brawijaya  
Repository Universitas Brawijaya

## **BAB 4 PERANCANGAN**

Bab ini akan menjelaskan bagaimana proses perancangan digunakan dalam penelitian ini dan sebagai acuan implementasinya. Perancangan ini terdiri dari perancangan *algoritme*, perhitungan, manualisasi dan dilanjutkan dengan scenario pengujian.

### **4.1 Perancangan Proses CNN**

Perancangan proses yang dalam penelitian ini secara garis besarnya dibagi menjadi 2 bagian, bagian yang pertama adalah proses pelatihan terhadap data latih, berikutnya proses klasifikasi terhadap data uji. Perancangan keseluruhan sistem disusun pada flowchart di Gambar 4.1.

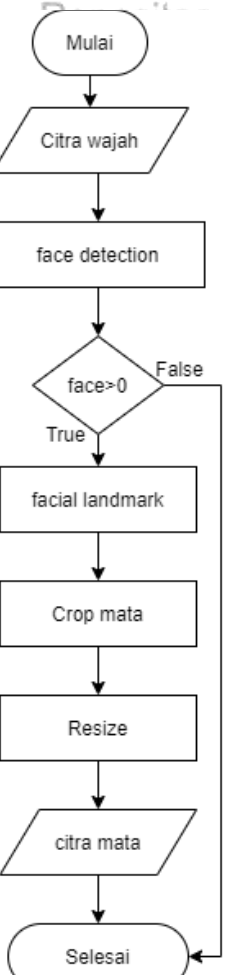


**Gambar 4.1 Diagram Alir Secara Umum**

Seperti yang ditunjukkan pada Gambar 4.1, sistem menerima masukan berupa citra wajah. Citra wajah tersebut kemudian dilakukan proses ekstraksi mata. Kemudian gambar mata yang berhasil diekstrak kemudian akan dinormalisasi yang kemudian dilakukan proses pembelajaran dengan suatu

#### 4.1.1 Ekstraksi Mata

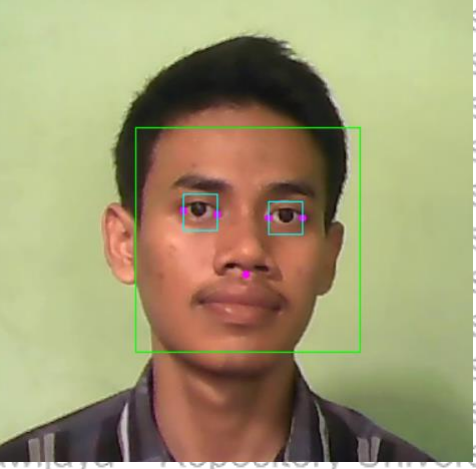
Ekstraksi fitur mata merupakan pre-processing yang dilakukan dalam penelitian ini untuk mengambil citra mata dari citra wajah. Gambar 4.2 menunjukkan proses dalam mengekstraksi citra mata.



**Gambar 4.2 Proses Ekstraksi Citra Mata**

Berdasarkan Gambar 4.2, proses ekstraksi citra mata diawali dengan proses face detection. Jika dalam citra ditemukan wajah maka akan dilanjutkan dengan deteksi fitur-fitur pada wajah dengan facial landmark. Umumnya *face landmark* menggunakan 68 *point*, dalam penelitian ini hanya digunakan 5 *point* karena hanya berfokus pada bagian mata saja. Setelah *face landmark* berhasil mendeteksi lokasi mata dalam citra wajah, maka dilanjutkan proses *crop* daerah tersebut. Hasil *crop* mata kemudian dilakukan *resize* dengan resolusi 32x32 piksel. Hasil mata kemudian disimpan supaya dapat dilakukan proses pelatihan

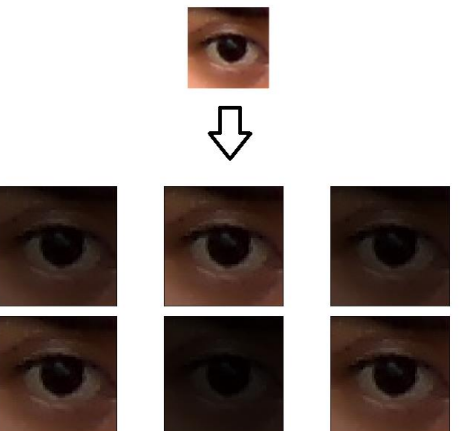
dan pengujian dalam CNN. Gambar 4.3 menunjukkan *facial landmark* dalam mendekripsi fitur mata dalam citra wajah.



**Gambar 4.3 Hasil Deteksi Mata dengan Facial Landmark**

#### 4.1.2 Augmentasi Data

Augmentasi data adalah pemrosesan data sebelum dilakukan proses pelatihan dengan mengubah data mentah menjadi data berkualitas. Berbagai macam cara melakukan augmentasi data tergantung kebutuhan sistem, diantaranya yang sering digunakan dalam memproses sebuah citra adalah *cropping* citra, *resize* citra, *flip* citra, *rotate* citra, *zoom* citra dll. Dalam penelitian ini penggunaan augmentasi citra untuk melakukan variasi terhadap data berupa *brightness* pada citra dan menormalisasi citra, atau mengubah nilai per-piksel citra menjadi nilai di antara 0 dan 1. Tahap normalisasi data bertujuan untuk mengurangi dominasi antara variabel dengan nilai yang besar terhadap variabel dengan nilai yang kecil. Gambar 4.4 merupakan salah satu contoh dari proses augmentasi, di mana sebuah citra dapat menghasilkan data yang lebih banyak dan dapat digunakan untuk proses *training* dan *testing* dalam CNN.



**Gambar 4.4 Contoh Augmentasi Citra Mata**

## 4.1.3 Inisialisasi Model

### 4.1.3 Inisialisasi Model

Inisialisasi model dalam CNN akan menentukan lapisan dan kedalaman yang akan digunakan. Metode CNN berfokus pada pembelajaran fitur pada suatu gambar maka yang perlu untuk ditentukan adalah *layer convolutional* yaitu lapisan konvolusi dan *pooling*, sedangkan *fully connected* adalah metode klasifikasinya maka dalam penelitian ini cukup dengan 2 lapisan. Gambar 4.3 merupakan ilustrasi model yang akan digunakan.



## Gambar 4.5 Perancangan Model

Lapisan konvolusi dan *pooling* sangat berpengaruh dalam menentukan hasil klasifikasi seperti yang ditunjukkan Gambar 4.5. Lapisan konvolusi dan *pooling* menghasilkan *output* berupa citra dengan dimensi yang lebih kecil atau sama dengan masukannya.

Dalam penelitian ini filter konvolusi yang digunakan adalah filter berukuran  $3 \times 3$  dengan stride 1 untuk proses konvolusi. Sedangkan dalam proses pooling menggunakan filter  $2 \times 2$  dengan stride 2 untuk memperkecil ukuran *image*. Ukuran filter yang semakin kecil akan menyebabkan sistem yang detail. Informasi dari citra akan semakin banyak dan menyebabkan efek samping berupa efek komputasi yang semakin besar pula.

Pada Tabel 4.1 merupakan hasil perhitungan citra dan kedalaman lapisan kongvolusi dan *pooling* yang digunakan dalam penelitian ini.

**Tabel 4.1 Perancangan Kedalaman Model**

Layer (type)	Output Shape
conv2d_1 (Conv2D)	(None, 30, 30, 16)
activation_1 (Activation)	(None, 30, 30, 16)
max_pooling2d_1 (MaxPooling2D)	(None, 15, 15, 16)
conv2d_2 (Conv2D)	(None, 13, 13, 32)
activation_2 (Activation)	(None, 13, 13, 32)
max_pooling2d_2 (MaxPooling2D)	(None, 6, 6, 32)
flatten_1 (Flatten)	(None, 1152)
dense_1 (Dense)	(None, 20)
dense_2 (Dense)	(None, 5)

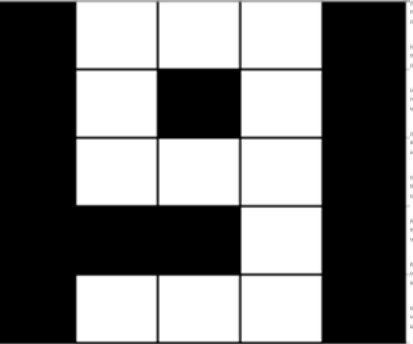
Berdasarkan Tabel 4.1 kedalaman model yang dapat digunakan 32x32 adalah 2 kedalaman layer konvolusi (konvolusi dan pooling). Dalam melakukan proses konvolusi, besar matriks masukkan minimal harus lebih atau sama dengan besar matriks filternya. Penggunaan filter 3x3 untuk konvolusi tidak dapat lebih dari dua kedalaman layer konvolusi karena keluaran pada lapisan 2 sudah berupa matriks dengan ukuran kecil, yaitu 6x6. Pertama citra berukuran 32x32 dilakukan proses konvolusi dengan 16 filter, menghasilkan 16 matrix beresolusi 30x30. Kemudian dilakukan aktivasi ReLu untuk menghilangkan angka negatif pada matrix. Hasil aktivasi dilakukan pooling dengan metode max pooling menghasilkan matrix yang jauh lebih kecil yaitu 15x15. Hasil dari max pooling dilanjutkan ke proses konvolusi tahap ke 2 dengan 32 filter yang menghasilkan matrix berukuran 13x13. Setelah dilakukan proses aktivasi ReLu dan max pooling kembali, menghasilkan matrix berukuran 6x6 sebanyak 32 layer. Kemudian matrix tersebut dilakukan proses flatten yang mengubahnya menjadi 1 dimensi dengan 1152 nilai. Nilai-nilai flatten tersebut menunjukkan bobot awal dan pada bagian dense menunjukkan jumlah neuron yang digunakan.

#### 4.1.4 Pelatihan Model

Pelatihan model merupakan proses pembelajaran model hasil inisialisasi sebelumnya dengan data yang sudah dinormalisasikan. Dalam pelatihan model metode optimasi cukup berpengaruh dalam hasil akurasi dan berpengaruh pula pada kecepatan pembelajaran sistem. Terdapat beberapa metode optimasi stokastik beberapa contohnya adalah Stochastic Gradient Descent (SGD) Nesterov, Adadelta, Adagrad, RMSprop, dan Adam. Menurut Kingma & Ba, (2015) dalam penelitiannya menyebutkan bahwa optimasi Adam merupakan optimasi terbaik. Optimasi Adam menggabungkan keunggulan dari optimasi populer sebelumnya yaitu RMSprop dan Adagard dapat kemampuan menangani data non-stasioner dan data sparse dengan memori lebih sedikit.

## 4.2 Perhitungan Manualisasi

Perhitungan manualisasi metode CNN dilakukan dengan contoh sebuah citra berukuran  $5 \times 5$  seperti pada Gambar 4.6. Citra input kemudian dilakukan konversi ke bentuk angka biner dan kemudian ditambahkan *padding* seperti pada Gambar 4.7.



## Gambar 4.6 Contoh Citra Perhitungan Manual

Repository Universitas Brawijaya  
Brawijaya University

**Gambar 4.7 Contoh Citra dalam Bentuk Angka dengan Padding**

Inisialisasi random filter untuk proses konvolusi.

Filter 1			Filter 2			Filter 3			Filter 4		
1	0	-1	-1	0	1	1	1	1	-1	-1	-1
1	0	-1	-1	0	1	0	0	0	0	0	0
1	0	-1	-1	0	1	-1	-1	-1	1	1	1

Lakukan proses konvolusi citra dengan masing-masing filter diatas

$$H_{netk} = \sum_i^n x_k * w_{ki}$$





$$H_{netk^2} = \begin{bmatrix} 2 & 1 & 0 & -1 & -2 \\ 3 & 2 & 0 & -2 & -3 \\ 2 & 1 & 1 & -1 & -3 \\ 2 & 2 & 1 & -2 & -3 \\ 1 & 1 & 1 & +1 & +2 \end{bmatrix}$$

$$H_{net3_{11}} = 0.1 + 0.1 + 0.1 + 0.0 + 0.0 + 1.0 + 0. -1 + 0. -1 + 1. -1 = -1$$

$$H_{net3_{12}} = 0.1 + 0.1 + 0.1 + 0.0 + 1.0 + 1.0 + 0. -1 + 1. -1 + 0. -1 = 1$$

$$H_{net3_{13}} = 0.1 + 0.1 + 0.1 + 1.0 + 1.0 + 1.0 + 1. -1 + 0. -1 + 1. -1 = -2$$

$$H_{net3_{14}} = 0.1 + 0.1 + 0.1 + 1.0 + 1.0 + 0.0 + 0. -1 + 1. -1 + 0. -1 = -1$$

$$H_{net3_{15}} = 0.1 + 0.1 + 0.1 + 1.0 + 0.0 + 0.0 + 0.0 + 1. -1 + 0. -1 + 0. -1 = 1$$

$$H_{net3_{21}} = 0.1 + 0.1 + 1.1 + 0.0 + 0.0 + 1.0 + 0. -1 + 0. -1 + 1. -1 = 0$$

$$H_{net3_{22}} = 0.1 + 1.1 + 1.1 + 0.0 + 1.0 + 0.0 + 0. -1 + 1. -1 + 1. -1 = 0$$

$$H_{net3_{23}} = 1.1 + 1.1 + 1.1 + 1.0 + 0.0 + 1.0 + 1. -1 + 1. -1 + 1. -1 = 0$$

$$H_{net3_{24}} = 1.1 + 1.1 + 0.1 + 0.0 + 1.0 + 0.0 + 1. -1 + 1. -1 + 0. -1 = 0$$

$$H_{net3_{25}} = 1.1 + 0.1 + 0.1 + 1.0 + 0.0 + 0.0 + 0.0 + 1. -1 + 0. -1 + 0. -1 = 0$$

$$H_{net3_{31}} = 0.1 + 0.1 + 1.1 + 0.0 + 0.0 + 1.0 + 0. -1 + 0. -1 + 0. -1 = 1$$

$$H_{net3_{32}} = 0.1 + 1.1 + 0.1 + 0.0 + 1.0 + 1.0 + 0. -1 + 0. -1 + 0. -1 = 1$$

$$H_{net3_{33}} = 1.1 + 0.1 + 1.1 + 1.0 + 1.0 + 1.0 + 0. -1 + 0. -1 + 1. -1 = 1$$

$$H_{net3_{34}} = 0.1 + 1.1 + 0.1 + 1.0 + 1.0 + 0.0 + 0.0 + 0. -1 + 1. -1 + 0. -1 = 0$$

$$H_{net3_{35}} = 1.1 + 0.1 + 0.1 + 1.0 + 0.0 + 0.0 + 0.0 + 1. -1 + 0. -1 + 0. -1 = 0$$

$$H_{net3_{41}} = 0.1 + 0.1 + 1.1 + 0.0 + 0.0 + 0.0 + 0.0 + 0. -1 + 0. -1 + 1. -1 = 0$$

$$H_{net3_{42}} = 0.1 + 1.1 + 1.1 + 0.0 + 0.0 + 0.0 + 0.0 + 0. -1 + 1. -1 + 1. -1 = 0$$

$$H_{net3_{43}} = 1.1 + 1.1 + 1.1 + 0.0 + 0.0 + 1.0 + 1. -1 + 1. -1 + 1. -1 = 0$$

$$H_{net3_{44}} = 1.1 + 1.1 + 0.1 + 0.0 + 1.0 + 0.0 + 0.0 + 1. -1 + 1. -1 + 0. -1 = 0$$

$$H_{net3_{45}} = 1.1 + 0.1 + 0.1 + 1.0 + 0.0 + 0.0 + 0.0 + 1. -1 + 0. -1 + 0. -1 = 0$$

$$H_{net3_{51}} = 0.1 + 0.1 + 0.1 + 0.0 + 0.0 + 1.0 + 0. -1 + 0. -1 + 0. -1 = 0$$

$$H_{net3_{52}} = 0.1 + 0.1 + 0.1 + 0.0 + 1.0 + 1.0 + 0. -1 + 0. -1 + 0. -1 = 0$$

$$H_{net3_{53}} = 0.1 + 0.1 + 1.1 + 1.0 + 1.0 + 1.0 + 0. -1 + 0. -1 + 0. -1 = 1$$

$$H_{net3_{54}} = 0.1 + 1.1 + 0.1 + 1.0 + 1.0 + 0.0 + 0. -1 + 0. -1 + 0. -1 = 1$$

$$H_{net3_{55}} = 1.1 + 0.1 + 0.1 + 1.0 + 0.0 + 0.0 + 0.0 + 0. -1 + 0. -1 + 0. -1 = 1$$

$$H_{netk3} = \begin{bmatrix} -1 & -1 & -2 & -1 & -1 \\ 0 & 0 & 0 & 0 & 0 \\ 1 & 1 & 1 & 0 & 0 \\ 0 & 0 & 0 & 0 & 0 \\ 0 & 0 & 1 & 1 & 1 \end{bmatrix}$$

$$H_{net4_{11}} = -0.1 + 0.1 + 0.1 + 0.0 + 0.0 + 1.0 + 0.1 + 0.1 + 1.1 = 1$$

$$H_{net4_{12}} = -0.1 + 0.1 + 0.1 + 0.0 + 1.0 + 1.0 + 0.1 + 1.1 + 0.1 = 1$$

$$H_{net4_{13}} = -0.1 + 0.1 + 0.1 + 1.0 + 1.0 + 1.0 + 1.1 + 0.1 + 1.1 = 2$$

$$H_{net4_{14}} = -0.1 + 0.1 + 0.1 + 1.0 + 1.0 + 0.0 + 0.1 + 1.1 + 0.1 = 1$$

$$H_{net4_{15}} = -0.1 + 0.1 + 0.1 + 1.0 + 0.0 + 0.0 + 1.1 + 0.1 + 0.1 = 1$$

$$H_{net4_{21}} = -0.1 + 0.1 + 1.1 + 0.0 + 0.0 + 1.0 + 0.1 + 0.1 + 1.1 = 0$$

$$H_{net4_{22}} = -0.1 + 1.1 + 1.1 + 0.0 + 1.0 + 0.0 + 0.1 + 1.1 + 1.1 = 0$$

$$H_{net4_{23}} = 1.1 + 1.1 + 1.1 + 1.0 + 0.0 + 1.0 + 1.1 + 1.1 + 1.1 = 0$$

$$H_{net4_{24}} = 1.1 + 1.1 + 0.1 + 0.0 + 1.0 + 0.0 + 1.1 + 1.1 + 0.1 = 0$$

$$H_{net4_{25}} = 1.1 + 0.1 + 0.1 + 1.0 + 0.0 + 0.0 + 1.1 + 0.1 + 0.1 = 0$$

$$H_{net4_{31}} = -0.1 + 0.1 + 1.1 + 0.0 + 0.0 + 1.0 + 0.1 + 0.1 + 0.1 = 1$$

$$H_{net4_{32}} = -0.1 + 1.1 + 0.1 + 0.0 + 1.0 + 1.0 + 0.1 + 0.1 + 0.1 = -1$$

$$H_{net4_{33}} = 1.1 + 0.1 + 1.1 + 1.0 + 1.0 + 1.0 + 0.1 + 0.1 + 1.1 = -1$$

$$H_{net4_{34}} = -0.1 + 1.1 + 0.1 + 1.0 + 1.0 + 0.0 + 0.1 + 1.1 + 0.1 = 0$$

$$H_{net4_{35}} = 1.1 + 0.1 + 0.1 + 1.0 + 0.0 + 0.0 + 1.1 + 0.1 + 0.1 = 0$$

$$H_{net4_{41}} = -0.1 + 0.1 + 1.1 + 0.0 + 0.0 + 0.0 + 0.1 + 0.1 + 1.1 = 0$$

$$H_{net4_{42}} = -0.1 + 1.1 + 1.1 + 1.0 + 0.0 + 0.0 + 0.1 + 1.1 + 1.1 = 0$$

$$H_{net4_{43}} = 1.1 + 1.1 + 1.1 + 1.0 + 0.0 + 0.0 + 1.0 + 1.1 + 1.1 = 0$$

$$H_{net4_{44}} = 1.1 + 1.1 + 0.1 + 0.0 + 1.0 + 0.0 + 1.1 + 1.1 + 0.1 = 0$$

$$H_{net4_{45}} = 1.1 + 0.1 + 0.1 + 1.0 + 0.0 + 0.0 + 1.1 + 0.1 + 0.1 = 0$$

$$H_{net4_{51}} = -0.1 + 0.1 + 0.1 + 0.0 + 0.0 + 1.0 + 0.1 + 0.1 + 0.1 = 0$$

$$H_{net4_{52}} = -0.1 + 0.1 + 0.1 + 0.0 + 1.0 + 1.0 + 0.1 + 0.1 + 0.1 = 0$$

$$H_{net4_{53}} = -0.1 + 0.1 + 1.1 + 1.0 + 1.0 + 1.0 + 0.1 + 0.1 + 0.1 = -1$$

$$H_{net4_{54}} = -0.1 + 1.1 + 0.1 + 1.0 + 1.0 + 0.0 + 0.1 + 0.1 + 0.1 = -1$$

$$H_{net4_{55}} = 1.1 + 0.1 + 0.1 + 1.0 + 0.0 + 0.0 + 0.1 + 0.1 + 0.1 = -1$$

Hitung dengan fungsi ReLu ( $H_j$ )

$$H_j = f(H_{net,j}) = \begin{cases} f(x) = x & \text{jika } x \geq 0 \\ f(x) = 0 & \text{jika } x < 0 \end{cases}$$

$$H_{netk4} = \begin{bmatrix} 1 & 1 & 2 & 1 & 1 \\ 0 & 0 & 0 & 0 & 0 \\ -1 & -1 & -1 & 0 & 0 \\ 0 & 0 & 0 & 0 & 0 \\ 0 & 0 & +1 & -1 & -1 \end{bmatrix}$$

$$H_1 = f(H_{net1}) = f\left(\begin{bmatrix} -2 & -1 & 0 & 1 & 2 \\ -3 & -2 & 0 & 2 & 3 \\ -2 & -1 & 1 & 3 & 0 \\ -2 & -2 & -1 & 2 & 3 \\ -1 & -1 & -1 & 1 & 2 \end{bmatrix}\right) = \begin{bmatrix} 0 & 0 & 0 & 1 & 2 \\ 0 & 0 & 0 & 2 & 3 \\ 0 & 0 & 0 & 1 & 3 \\ 0 & 0 & 0 & 2 & 3 \\ 0 & 0 & 0 & 1 & 1 \end{bmatrix}$$

$$H_2 = f(H_{net2}) = f\left(\begin{bmatrix} 2 & 1 & 0 & -1 & -2 \\ 3 & 2 & 0 & -2 & -3 \\ 2 & 1 & 1 & -1 & -3 \\ 2 & 2 & 1 & -2 & -3 \\ 1 & 1 & 1 & -1 & -2 \end{bmatrix}\right) = \begin{bmatrix} 2 & 1 & 0 & 0 & 0 \\ 3 & 2 & 0 & 0 & 0 \\ 2 & 1 & 1 & 0 & 0 \\ 2 & 2 & 1 & 0 & 0 \\ 1 & 1 & 1 & 0 & 0 \end{bmatrix}$$

$$H_3 = f(H_{net3}) = f\left(\begin{bmatrix} -1 & -1 & -2 & -1 & -1 \\ 0 & 0 & 0 & 0 & 0 \\ 1 & 1 & 1 & 0 & 0 \\ 0 & 0 & 0 & 0 & 0 \\ 0 & 0 & 1 & 1 & 1 \end{bmatrix}\right) = \begin{bmatrix} 0 & 0 & 0 & 0 & 0 \\ 0 & 0 & 0 & 0 & 0 \\ 1 & 1 & 1 & 0 & 0 \\ 0 & 0 & 0 & 0 & 0 \\ 0 & 0 & 1 & 1 & 1 \end{bmatrix}$$

$$H_4 = f(H_{net4}) = f\left(\begin{bmatrix} 1 & 1 & 2 & 1 & 1 \\ 0 & 0 & 0 & 0 & 0 \\ -1 & -1 & -1 & 0 & 0 \\ 0 & 0 & 0 & 0 & 0 \\ 0 & 0 & -1 & -1 & -1 \end{bmatrix}\right) = \begin{bmatrix} 1 & 1 & 2 & 1 & 1 \\ 0 & 0 & 0 & 0 & 0 \\ 0 & 0 & 0 & 0 & 0 \\ 0 & 0 & 0 & 0 & 0 \\ 0 & 0 & 0 & 0 & 0 \end{bmatrix}$$

Proses selanjutnya adalah menyederhanakan hasilnya dengan *max pooling*.

$$P_{j,m,n} = \max((H_{j,m-n}), (H_{j,m+1-n}), (H_{j,m-n+1}), (H_{j,m+1-n+1}))$$

$$P_{1,1,1} = \max(0, 0, 0, 0) = 0$$

$$P_{1,1,2} = \max(0, 0, 0, 0) = 0$$

$$P_{1,1,3} = \max(0, 1, 0, 2) = 2$$

$$P_{1,1,4} = \max(1, 2, 2, 3) = 3$$

$$P_{1,2,1} = \max(0, 0, 0, 0) = 0$$

$$P_{1,2,2} = \max(0, 0, 0, 0) = 0$$

$$P_{1,2,3} = \max(0, 2, 0, 1) = 2$$

$$P_{1,2,4} = \max(2, 3, 1, 3) = 3$$

$$P_{1,3,1} = \max(0, 0, 0, 0) = 0$$

$$P_{1,3,2} = \max(0, 0, 0, 0) = 0$$

$$P_{1,3,3} = \max(0, 1, 0, 2) = 2$$

$$P_{1,3,4} = \max(1, 3, 2, 3) = 3$$

$$P_{1,4,1} = \max(0, 0, 0, 0) = 0$$

$$P_{1,4,2} = \max(0, 0, 0, 0) = 0$$

$$P_{1,4,3} = \max(0, 2, 0, 1) = 2$$

$$P_{1,4,4} = \max(2, 3, 1, 1) = 3$$

$P_{1,1} = \max(2,1,3,2) = 3$   
 $P_{1,2} = \max(1,0,2,0) = 2$   
 $P_{1,3} = \max(0,0,0,0) = 0$   
 $P_{1,4} = \max(0,0,0,0) = 0$   
 $P_{2,1} = \max(3,2,2,1) = 3$   
 $P_{2,2} = \max(2,0,1,1) = 2$   
 $P_{2,3} = \max(0,0,1,0) = 1$   
 $P_{2,4} = \max(0,0,0,0) = 0$   
 $P_{3,1} = \max(0,0,0,0) = 0$   
 $P_{3,2} = \max(0,0,0,0) = 0$   
 $P_{3,3} = \max(0,0,0,0) = 0$   
 $P_{3,4} = \max(0,0,0,0) = 0$   
 $P_{32,1} = \max(0,0,1,1) = 1$   
 $P_{32,2} = \max(0,0,1,1) = 1$   
 $P_{32,3} = \max(0,0,1,0) = 1$   
 $P_{32,4} = \max(0,0,0,0) = 0$

Repository Universitas Brawijaya  
 $[0 \ 0 \ 2 \ 3]$  Repository Universitas Brawijaya  
 $[0 \ 0 \ 2 \ 3]$  Repository Universitas Brawijaya  
 $[0 \ 0 \ 2 \ 3]$  Repository Universitas Brawijaya

$$\begin{aligned}P_{23,1} &= \max(2,1,2,2) = 2 \\P_{23,2} &= \max(1,1,2,1) = 2 \\P_{22,2} &= \max(1,0,1,0) = 1\end{aligned}$$

$$\begin{aligned}
 P_{23,4} &= \max(0,0,0,0) = 0 \\
 P_{24,1} &= \max(2,2,1,1) = 2 \\
 P_{24,2} &= \max(2,1,1,1) = 2 \\
 P_{24,3} &= \max(1,0,1,0) = 1 \\
 P_{24,4} &= \max(0,0,0,0) = 0
 \end{aligned}$$

[3 2 0 0]  
[3 2 1 0]  
[2 2 1 0]  
[2 2 1 0]

$$\begin{aligned}P_{33,1} &= \max(1,1,0,0) = 1 \\P_{33,2} &= \max(1,1,0,0) = 1 \\P_{33,3} &= \max(1,0,0,0) = 1 \\P_{33,4} &= \max(0,0,0,0) = 0 \\P_{34,1} &= \max(0,0,0,0) = 0 \\P_{34,2} &= \max(0,0,0,1) = 1 \\P_{34,3} &= \max(0,0,1,1) = 1 \\P_{34,4} &= \max(0,0,1,1) = 1\end{aligned}$$

[0 0 0 0]  
[1 1 1 0]  
[1 1 1 0]  
[0 1 1 1]

$$P_{41,1} = \max(1, 1, 0, 0) = 1$$

$$P_{41,2} = \max(1, 2, 0, 0) = 2$$

$$P_{41,3} = \max(2, 1, 0, 0) = 2$$

$$P_{41,4} = \max(1, 1, 0, 0) = 1$$

$$P_{42,1} = \max(0, 0, 0, 0) = 0$$

$$P_{42,2} = \max(0, 0, 0, 0) = 0$$

$$P_{42,3} = \max(0, 0, 0, 0) = 0$$

$$P_{42,4} = \max(0, 0, 0, 0) = 0$$

$$P_{43,1} = \max(0, 0, 0, 0) = 0$$

$$P_{43,2} = \max(0, 0, 0, 0) = 0$$

$$P_{43,3} = \max(0, 0, 0, 0) = 0$$

$$P_{43,4} = \max(0, 0, 0, 0) = 0$$

$$P_{44,1} = \max(0, 0, 0, 0) = 0$$

$$P_{44,2} = \max(0, 0, 0, 0) = 0$$

$$P_{44,3} = \max(0, 0, 0, 0) = 0$$

$$P_{44,4} = \max(0, 0, 0, 0) = 0$$

$$\begin{aligned} P_4 &= \begin{bmatrix} 1 & 2 & 2 & 1 \\ 0 & 0 & 0 & 0 \\ 0 & 0 & 0 & 0 \\ 0 & 0 & 0 & 0 \end{bmatrix} \end{aligned}$$

Menggabungkan matriks konvolusi menjadi satu kesatuan dengan cara *flattening*.

$x_1 = 0$	$x_2 = 0$	$x_3 = 2$	$x_4 = 3$	$x_5 = 0$	$x_6 = 0$	$x_7 = 2$	$x_8 = 3$
$x_9 = 0$	$x_{10} = 0$	$x_{11} = 2$	$x_{12} = 3$	$x_{13} = 0$	$x_{14} = 0$	$x_{15} = 2$	$x_{16} = 3$
$x_{17} = 3$	$x_{18} = 2$	$x_{19} = 0$	$x_{20} = 0$	$x_{21} = 3$	$x_{22} = 2$	$x_{23} = 1$	$x_{24} = 0$
$x_{25} = 2$	$x_{26} = 2$	$x_{27} = 1$	$x_{28} = 0$	$x_{29} = 2$	$x_{30} = 2$	$x_{31} = 1$	$x_{32} = 0$
$x_{33} = 0$	$x_{34} = 0$	$x_{35} = 0$	$x_{36} = 0$	$x_{37} = 1$	$x_{38} = 1$	$x_{39} = -1$	$x_{40} = 0$
$x_{41} = 1$	$x_{42} = 1$	$x_{43} = 1$	$x_{44} = 0$	$x_{45} = 0$	$x_{46} = 1$	$x_{47} = 1$	$x_{48} = 1$
$x_{49} = 1$	$x_{50} = 2$	$x_{51} = 2$	$x_{52} = 1$	$x_{53} = 0$	$x_{54} = 0$	$x_{55} = 0$	$x_{56} = 0$
$x_{57} = 0$	$x_{58} = 0$	$x_{59} = 0$	$x_{60} = 0$	$x_{61} = 0$	$x_{62} = 0$	$x_{63} = 0$	$x_{64} = 0$

### 4.3 Skenario Pengujian

Skenario pengujian membahas pengujian yang akan digunakan. Pengujian ditunjukkan untuk dapat menemukan model terbaik yang hasilnya dapat dievaluasi.

#### 4.3.1 Skenario Pengujian Loss dan Akurasi CNN

Proses pengujian *loss* dan akurasi akan membandingkan berbagai hasil dari bermacam-macam model CNN. Hasil akurasi dan *loss* akan terlihat dalam proses pelatihan pada setiap *epoch*-nya.

Tabel 4.2 Skenario Pengujian *Loss* dan Akurasi

Model	EP1	EP2	EP3	EP4	EP5	EP6	...	EPn
1								
2								
3								
4								
n								

#### 4.3.2 Skenario Pengujian CNN pada video

Proses pengujian akurasi pada video dilakukan dengan *random sampling* terhadap sebagian *frame* untuk dihitung secara manual akurasinya. Model CNN yang diuji adalah model dengan hasil paling optimal pada pengujian sebelumnya.

**Tabel 4.3 Skenario pengujian *random sampling* video.**

Nama Percobaan	Prediksi Tepat	Prediksi Salah	Akurasi
Percobaan 1			
Percobaan 2	Brawijaya		
Percobaan n	Brawijaya		

Repository Universitas Brawijaya  
Repository Universitas Brawijaya

## **BAB 5 IMPLEMENTASI**

Bab ini menunjukkan proses implementasi sistem, yang terdiri dari penjelasan tentang lingkungan keru sistem dan implementasi dari kode sumber beserta penjelasannya.

### **5.1 Lingkungan Implementasi**

Subbab ini menjelaskan berbagai lingkungan yang digunakan untuk implementasi sistem. Terdiri dari 2 macam lingkungan, yaitu lingkungan perangkat keras dan perangkat lunak yang digunakan untuk proses implementasi sistem.

#### **5.1.1 Lingkungan Perangkat Keras**

Pada Tabel 5.1 menunjukkan spesifikasi lingkungan perangkat keras yang digunakan dalam implementasi sistem.

**Tabel 5.1 Lingkungan Perangkat Keras**

Nama Hardware	Keterangan
Prosesor	Intel(R) Core(TM) i3-8145U CPU @ 2.30GHz
RAM	8 GB RAM LPDDR3L
Storage	512GB SSD
VGA	IntelHD 620
Smartphone	Xperia XZ1 (Kamera 19MP)
	Smartphone digunakan untuk mengambil foto wajah.

#### **5.1.2 Subbab Lima Satu Dua**

Dalam Tabel 5.2 menunjukkan perangkat lunak yang digunakan dalam implementasi sistem.

**Tabel 5.2 Lingkungan Perangkat Lunak**

Nama Software	Keterangan
Windows 10 64 bit	Sistem operasi pada komputer
Python v3.7.4	Bahasa pemrograman dalam implementasi sistem
Microsoft Word 2019	Aplikasi pengolah dokumen untuk membuat laporan penelitian
Microsoft Excel 2019	Aplikasi pengolah angka untuk membuat perhitungan manualisasi

Repository Universitas Brawijaya  
Repository Universitas Brawijaya  
Repository Universitas Brawijaya  
Repository Universitas Brawijaya  
Repository Universitas Brawijaya

Repository  
Repository  
Repository  
Repository  
Repository

Repository Universitas Brawijaya

Repository Universitas Brawijaya  
Repository Universitas Brawijaya  
Repository Universitas Brawijaya  
Repository Universitas Brawijaya  
Repository Universitas Brawijaya

## 5.2 Implementasi Algoritme *Library*

Pada subbab ini merupakan proses implementasi dari *algoritme* berupa kode sumber disertai dengan penjelasan dan pembahasannya. Modul yang digunakan pada sub-bab ini adalah *dlib*, *tensorflow* dan *keras*. Modul *dlib* digunakan untuk ekstraksi fitur *facial landmark* pada wajah. Modul Keras merupakan *library* yang dipakai untuk proses *deep learning*. Secara garis besar, prosesnya terbagi menjadi 3 yaitu proses ekstraksi fitur mata dalam wajah, dilanjutkan dengan augmentasi data, kemudian penentuan dari model dari arsitektur CNN yang akan digunakan dan terakhir proses pembelajaran.

### 5.2.1 Implementasi Ekstraksi Citra Mata

Ekstraksi citra mata merupakan langkah *pre-processing* yang dilakukan karena penelitian ini difokuskan pada bagian mata saja. Pada bagian ini akan ditunjukkan kode program untuk melakukan ekstraksi gambar mata dalam citra suatu wajah dengan menggunakan *facial landmark*.

**Tabel 5.3 Implementasi Extraksi Citra Mata**

no	Source code
1	import cv2
2	import dlib
3	import os
4	listatas = os.listdir('dataset1/atas')
5	listbawah = os.listdir('dataset1/bawah')
6	listkanan = os.listdir('dataset1/kanan')
7	listkiri = os.listdir('dataset1/kiri')
8	listtengah = os.listdir('dataset1/tengah')
9	detector=dlib.get_frontal_face_detector()
10	predictor=dlib.shape_predictor("shape_predictor_5_face_landmarks.dat")
11	def eyeextract(pathinput,pathoutput):
12	gbr=cv2.imread(pathinput)
13	gray = cv2.cvtColor(gbr, cv2.COLOR_BGR2GRAY)
14	faces = detector(gray)
15	if (len(faces)>0):
16	landmarks = predictor(gray,faces[0])
17	#matakanan
18	x1=landmarks.part(3).x;
19	x2=landmarks.part(2).x;
20	y1=landmarks.part(3).y-int((landmarks.part(2).x-landmarks.part(3).x)/2)
21	y2=landmarks.part(2).y+int((landmarks.part(2).x-landmarks.part(3).x)/2)
22	matakanan = gbr[y2:y1, x2:x1]
23	if (matakanan.size>0):
24	matakanan = cv2.resize(matakanan, (32,32), interpolation=cv2.INTER_CUBIC)
25	cv2.imwrite(pathoutput+'1.jpg',matakanan)
26	#matakiri
27	x1=landmarks.part(1).x;
28	x2=landmarks.part(0).x;
29	y1=landmarks.part(1).y-int((landmarks.part(0).x-landmarks.part(1).x)/2)
30	y2=landmarks.part(0).y+int((landmarks.part(0).x-landmarks.part(1).x)/2)
31	matakiri = gbr[y2:y1, x2:x1]
32	if (matakiri.size>0):
33	matakiri = cv2.resize(matakiri, (32,32), interpolation=cv2.INTER_CUBIC)

```

34     y2=landmarks.part(0).yint((landmarks.part(0).x-
35                               landmarks.part(1).x)/2)
36     matakiri = gbr[y1:y2, x1:x2]
37     if (matakiri.size>0):
38         matakiri= cv2.resize(matakiri, (32,32),
39                               interpolation=cv2.INTER_CUBIC)
40         cv2.imwrite(pathoutput+'2.jpg',matakiri)
41
42     for i in range(len(listatas)):
43         eyeextract('dataset1/atas/'+listatas[i],
44                     'dataset1-mata/atas/'+listatas[i][0:-4])
45     for i in range(len(listbawah)):
46         eyeextract('dataset1/bawah/'+listbawah[i],
47                     'dataset1-mata/bawah/'+listbawah[i][0:-4])
48     for i in range(len(listkanan)):
49         eyeextract('dataset1/kanan/'+listkanan[i],
50                     'dataset1-mata/kanan/'+listkanan[i][0:-4])
51     for i in range(len(listkiri)):
52         eyeextract('dataset1/kiri/'+listkiri[i],
53                     'dataset1-mata/kiri/'+listkiri[i][0:-4])
54
55     for i in range(len(listtengah)):
56         eyeextract('dataset1/tengah/'+listtengah[i],
57                     'dataset1-mata/tengah/'+listtengah[i][0:-4])

```

Berdasarkan Tabel 5.3 baris 1-3 merupakan inisialisasi *library* yang dibutuhkan. Baris 4-8 membaca daftar nama file citra wajah. Baris 9 merupakan inisialisasi modul *face detection*. Baris 10 adalah inisialisasi *facial landmark 5 point*. Baris 11 inisialisasi prosedur ekstraksi mata. Baris 12 pembacaan file citra wajah. Baris 13 mengubah citra dari RGB ke grayscale. Baris 14 dilakukan proses deteksi wajah. Baris 15 jika wajah ditemukan, lanjutkan proses berikutnya. Baris 16 melakukan *5 point facial landmark* terhadap wajah yang sudah ditemukan. Baris 18-23 menyimpan posisi koordinat mata kanan. Baris 24 melakukan crop terhadap mata kanan. Baris 25 jika mata kanan berhasil di-crop maka dilanjukkan dengan Baris 26-27 yaitu proses *resize* citra mata. Baris 28 menyimpan hasil citra mata kanan. Baris 30-35 menyimpan posisi koordinat mata kiri. Baris 36 melakukan *crop* terhadap mata kiri. Baris 37 jika mata kiri berhasil di-crop maka dilanjukkan dengan Baris 38-39 yaitu proses *resize* citra mata. Baris 40 menyimpan hasil citra mata kiri. Baris 41-42 adalah perulangan ekstraksi mata pada setiap folder dimana citra wajah disimpan.

### 5.2.2 Implementasi Augmentasi Data

Augmentasi data merupakan proses pengolahan data sebelum dilakukan proses pembelajaran. Proses ini untuk memperbanyak jumlah data dengan mengubah tingkat kecerahan pada data citra masukkan, melakukan normalisasi data, dengan menentukan ukuran *batch size*.

**Tabel 5.4 Implementasi Augmentasi Data**

no	Source code
1	img_width, img_height = 32, 32
2	batch_size = 32
3	train_datagen = ImageDataGenerator(
4	rescale=1. / 255,

```
5      brightness_range=(0.1,0.9),  
6          horizontal_flip=False,vertical_flip=False)  
7      test_datagen = ImageDataGenerator(  
8          rescale=1./255,  
9          brightness_range=(0.1,0.9),  
10         horizontal_flip=False,vertical_flip=False)  
11     train_generator = train_datagen.flow_from_directory(  
12         'dataset1-train/training',  
13         target_size=(img_height, img_width),  
14         batch_size=batch_size,  
15         class_mode='sparse')  
16     validation_generator = test_datagen.flow_from_directory(  
17         'dataset1-train/testing',  
18         target_size=(img_height, img_width),  
19         batch_size=batch_size,  
20         class_mode='sparse')
```

Berdasarkan Tabel 5.4 pada baris 1-2 merupakan inisialisasi parameter yang menunjukkan dimensi citra, sedangkan *batch\_size* merupakan jumlah literasi yang diperlukan dalam pelatihan. Baris 3-16 adalah proses augmentasi pada data latih dengan parameter manipulasi *brightness* dan normalisasi. Baris 7-10 adalah proses augmentasi pada data *testing* dengan parameter manipulasi *brightness* dan normalisasi. Baris 11-15 melakukan eksekusi generator data terhadap data latih sebanyak *batch\_size*. Baris 16-20 melakukan eksekusi generator data terhadap data testing sebanyak *batch\_size*.

### 5.2.3 Implementasi Penentuan Arsitektur CNN

Bagian ini menunjukkan kode program dalam pembentukan arsitektur dari CNN yang terdiri dari 3 layer, yaitu layer konvolusi, layer *pooling* dan layer *fully connected*.

**Tabel 5.5 Implementasi Arsitektur CNN**

no	Source code
1	model = Sequential()
2	model.add(Convolution2D(16,3,3, input_shape=(img_width,img_height,3)))
3	model.add(Activation("relu"))
4	model.add(MaxPooling2D(pool_size=(2, 2)))
5	model.add(Convolution2D(32, 3, 3))
6	model.add(Activation("relu"))
7	model.add(MaxPooling2D(pool_size=(2,2)))
8	model.add(Flatten())
9	model.add(Dense(output_dim = 20, activation="relu"))
10	model.add(Dense(output_dim = 5, activation="softmax"))
11	model.summary()
12	model.compile(loss='sparse_categorical_crossentropy', optimizer=optimizers.adam(), metrics=['accuracy'])

Pada Tabel 5.5 baris 1, dilakukan proses inisialisasi model CNN. Baris 2-7 menambahkan arsitektur yang dipakai dalam CNN, yang menentukan kedalamannya. Terdiri dari konvolusi, aktivasi ReLu dan proses pooling. Baris 8 menunjukkan proses *flattening*, yaitu mengubah matrix hasil konvolusi menjadi 1 dimensi dan menjadikannya *fully connected*. Baris 9-10 menambahkan *fully connected layer* dengan kedalaman 2, masing-masing mewakili jumlah neuron dalam jaringan saraf. Baris 11 adalah perintah untuk menampilkan model arsitektur CNN yang sudah dibuat. Baris 12-14 melakukan *compile* arsitektur CNN yang sudah dibuat dengan memilih optimasi yang akan digunakan.

#### **5.2.4 Implementasi Proses Pembelajaran CNN**

Pada bagian ini akan ditunjukkan kode program mengenai proses dan variabel yang digunakan pada pelatihan.

**Tabel 5.6 Implementasi Pelatihan CNN**

no	Source code
1	model.fit_generator( train_generator, steps_per_epoch=batch_size, validation_data=validation_generator, validation_steps=batch_size, epochs=10)
2	model.save('model.h5')
3	model.get_weights()
4	model.save_weights('weights.h5')

Pada Tabel 5.6 baris 1, menjalankan fungsi *fit\_generator* yang merupakan modul untuk pelatihan, baris 2 menunjukkan input data berupa citra hasil dari augmentasi data yang sudah dinormalisasi, baris 3 *step\_per\_epoch* merupakan banyaknya langkah pelatihan tiap epochnya. Baris 4-5 merupakan proses validasi terhadap hasil pelatihan. Baris 6 *epoch* adalah jumlah literasi yg dilakukan dalam pelaksanaan pelatihan dan validasi. Baris 7-9 melakukan penyimpanan hasil akhir dari konfigurasi model beserta bobot akhir hasil pelatihan.

#### **5.2.5 Implementasi Pengujian Random Sampling Video**

Bagian ini menunjukkan kode program yang digunakan untuk pengujian hasil dari konfigurasi model dan bobot terhadap *frame* acak dalam sebuah *video testing*.

**Tabel 5.7 Implementasi Pengujian Random Sampling Video**

no	Source code
1	model = load_model('model.h5')
2	model.load_weights('weights.h5')
3	def predict(x):
4	x = np.expand_dims(x, axis=0)
5	array = model.predict(x)
6	result = array[0]
7	hasil = np.argmax(result)
8	if hasil == 0:

```
9     print("Atas")
10    elif hasil == 1:
11        print("Bawah")
12    elif hasil == 2:
13        print("Kanan")
14    elif hasil == 3:
15        print("Kiri")
16    elif hasil == 4:
17        print("Tengah")
18    return hasil
19
20    cap = cv2.VideoCapture('video-testing.mp4')
21    length = int(cv2.VideoCapture.get(cap,
22                                int(cv2.CAP_PROP_FRAME_COUNT)))
23
24    daftarrandom = []
25    for I in range(0, 51):
26        n = random.randint(0, length)
27        daftarrandom.append(n)
28    print(daftarrandom)
29
30    detector=dlib.get_frontal_face_detector()
31    predictor=dlib.shape_predictor(
32        "shape_predictor_5_face_landmarks.dat")
33
34    while cap.isOpened():
35        _, frame = cap.read()
36        if not _:
37            time.sleep(2)
38            break
39        gray = cv2.cvtColor(frame, cv2.COLOR_BGR2GRAY)
40        start = time.time()
41        faces = detector(gray)
42        if (len(faces)>0):
43            x1 = faces[0].left()
44            y1 = faces[0].top()
45            x2 = faces[0].right()
46            y2 = faces[0].bottom()
47            cv2.rectangle(frame, (x1, y1), (x2, y2),
48                          (0, 255, 0), 1)
49
50            landmarks = predictor(gray,faces[0])
51
52            for n in range(0, 5):
53                x = landmarks.part(n).x;
54                y = landmarks.part(n).y
55                cv2.circle(frame, (x, y), 3, (255, 0, 255), -1)
56
57                #matakanan
58                x1=landmarks.part(3).x;
59                x2=landmarks.part(2).x;
60                y1=landmarks.part(3).y-int((landmarks.part(2).x-
61                                            landmarks.part(3).x)/2);
62                y2=landmarks.part(2).y+int((landmarks.part(2).x-
63                                            landmarks.part(3).x)/2);
64                cv2.rectangle(frame, (x1, y1), (x2, y2),
65                              (255, 255, 0), 1)
66
67                matakaran = frame[y2:y1, x2:x1]
68
69                #matakiri
70                x1=landmarks.part(1).x;
71                x2=landmarks.part(0).x;
72                y1=landmarks.part(1).y-int((landmarks.part(0).x-
73                                            landmarks.part(1).x)/2);
```

```
63     y2=landmarks.part(0).y+int((landmarks.part(0).x-  
64         landmarks.part(1).x)/2);  
65     cv2.rectangle(frame, (x1, y1), (x2, y2),  
66                     (255, 255, 0), 1)  
67     matakiri = frame[y2:y1, x2:x1]  
68     result=predict(cv2.resize(matakanan, dsize=(32, 32),  
69                     interpolation=cv2.INTER_CUBIC))  
70     font = cv2.FONT_HERSHEY_SIMPLEX  
71     cv2.putText(frame,str(round(1/(time.time()-start)))+  
72                  ' fps ('+str(round((time.time()-start)*1000))+  
73                  ' ms)',(10,20),font,0.5,(255,255,255),1,  
74     cv2.LINE_AA)  
75     if (result==0):  
76         cv2.putText(frame,'Atas',(10,70),  
77                     font, 1,(0,255,255),2,cv2.LINE_AA)  
78     elif(result==1):  
79         cv2.putText(frame,'Bawah',(10,70),  
80                     font, 1,(0,255,255),2,cv2.LINE_AA)  
81     elif(result==2):  
82         cv2.putText(frame,'Kanan',(10,70),  
83                     font, 1,(0,255,255),2,cv2.LINE_AA)  
84     elif (result==3):  
85         cv2.putText(frame,'Kiri',(10,70),  
86                     font, 1,(0,255,255),2,cv2.LINE_AA)  
87     elif (result==4):  
88         cv2.putText(frame,'Tengah',(10,70),  
89                     font, 1,(0,255,255),2,cv2.LINE_AA)  
90     print((time.time() - start))  
91     if int(cap.get(cv2.CAP_PROP_POS_FRAMES)) in daftarrandom:  
92         cv2.imwrite('random-test/0/+'  
93             str(cap.get(cv2.CAP_PROP_POS_FRAMES))+  
94             '.jpg',frame)  
95     cv2.imshow("Frame", frame)
```

Pada Tabel 5.7 baris 1-2, inisialisasi model CNN hasil pelatihan. Baris 8-18 adalah fungsi untuk mengeluarkan hasil prediksi dengan input citra mata dan output adalah hasil klasifikasi. Baris 19-21 membuka file video dan menghitung total frame. Baris 22-26 membuat nilai random antara 0 sampai jumlah *frame* sebanyak 50 buah. No 27 merupakan inisialisasi modul *face detection*. Baris 28-29 adalah inisialisasi *facial landmark 5 point*. Baris 30-31 inisialisasi pembacaan *frame* video citra wajah. Baris 35 mengubah citra dari RGB ke *grayscale*. Baris 37 dilakukan proses deteksi wajah. Baris 38 jika wajah ditemukan, lanjutkan proses berikutnya. Baris 39-44 membuat kotak penanda wajah yang ditemukan pada citra. Baris 45 melakukan *5 point facial landmark* terhadap wajah yang sudah ditemukan. Baris 46-49 membuat tanda pada *landmark* yang ditemukan. Baris 50-57 menyimpan posisi koordinat mata kanan. Baris 58 melakukan *crop* terhadap mata kanan. Baris 59-66 menyimpan posisi koordinat mata kiri. Baris 67 melakukan *crop* terhadap mata kiri. Baris 68-69 melakukan prediksi pada gerakan mata kanan. Baris 70-89 menjelaskan hasil prediksi pada gambar. Baris 91-94 jika *frame* sekarang termasuk dalam *frame* yang akan dilakukan sampling, maka disimpan gambarnya. Baris 95 menampilkan *output frame* pada layar.

Repository Universitas Brawijaya  
Repository Universitas Brawijaya

## **BAB 6 PENGUJIAN DAN ANALISIS**

Pengujian sistem dilakukan berdasarkan skenario pengujian yang dibuat sebelumnya. Masing-masing hasil dari pengujian dilakukan analisa dan disimpulkan hasilnya.

### **6.1 Pengujian Loss dan Akurasi pada Data**

Pengujian ini membandingkan loss dan akurasi antara model CNN yang sudah dibuat. Pengujian loss dan akurasi dapat juga digunakan untuk mengetahui di mana sistem menghasilkan akurasi terbaik dengan waktu tercepat. Pengujian ini menggunakan input citra sejumlah 160 yang dikelompokkan ke dalam 5 kelas arah mata. Dengan pembagian 120 citra yang digunakan sebagai data latih dan 40 citra sisanya sebagai data uji. Model CNN yang diujikan dapat dilihat pada Tabel 6.1.

**Tabel 6.1 Model CNN**

<b>Nama Model</b>	<b>Batch size</b>	<b>Filter 1</b>	<b>Filter 2</b>	<b>Fully connected</b>
Model 1	8	32	64	20
Model 2	8	32	64	10
Model 3	8	16	32	20
Model 4	8	16	32	10
Model 5	16	32	64	20
Model 6	16	32	64	10
Model 7	16	16	32	20
Model 8	16	16	32	10
Model 9	32	32	64	20
Model 10	32	32	64	10
Model 11	32	16	32	20
Model 12	32	16	32	10

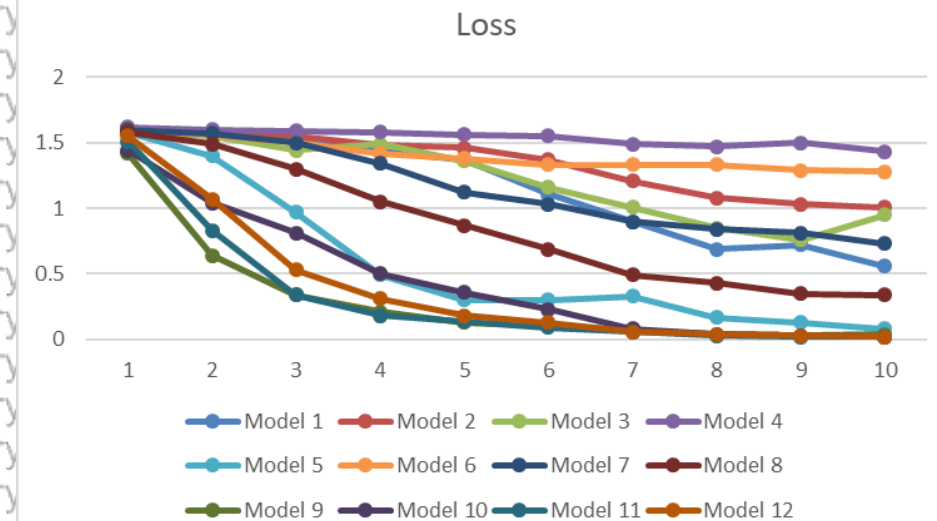
Berdasarkan Tabel 6.1 ukuran batch size yang akan diuji adalah 8,16,32. Jumlah Filter yang digunakan adalah 32 dengan 64 dan 16 dengan 32. Jumlah neuron *hidden layer* dalam *fully connected* yang digunakan 20 dan 10. Epoch yang digunakan dalam pengujian ini berjumlah 10. Jumlah kedalaman arsitektur CNN berjumlah 2. Tabel 6.2 menunjukkan hasil perekaman hasil proses pembelajaran sistem.

**Tabel 6.2 Hasil Perekaman Nilai Loss**

<b>Model</b>	<b>EP1</b>	<b>EP2</b>	<b>EP3</b>	<b>EP4</b>	<b>EP5</b>	<b>EP6</b>	<b>EP7</b>	<b>EP8</b>	<b>EP9</b>	<b>EP10</b>
1	1.60	1.56	1.52	1.43	1.37	1.11	0.90	0.69	0.72	0.56
2	1.61	1.59	1.55	1.48	1.46	1.37	1.21	1.08	1.03	1.01
3	1.59	1.55	1.44	1.49	1.36	1.16	1.01	0.85	0.76	0.95
4	1.62	1.60	1.59	1.58	1.56	1.55	1.49	1.47	1.50	1.43
5	1.58	1.40	0.97	0.49	0.30	0.30	0.33	0.17	0.13	0.08
6	1.60	1.56	1.50	1.42	1.38	1.33	1.33	1.33	1.29	1.28
7	1.60	1.57	1.50	1.34	1.12	1.03	0.90	0.84	0.81	0.73
8	1.58	1.49	1.30	1.05	0.87	0.69	0.49	0.43	0.35	0.34

**Tabel 6.3 Hasil Perekaman Nilai Loss (lanjutan)**

Model	EP1	EP2	EP3	EP4	EP5	EP6	EP7	EP8	EP9	EP10
9	1.42	0.64	0.34	0.21	0.13	0.11	0.07	0.04	0.03	0.04
10	1.44	1.04	0.81	0.50	0.36	0.23	0.08	0.04	0.03	0.02
11	1.51	0.83	0.34	0.18	0.14	0.09	0.06	0.03	0.02	0.02
12	1.55	1.07	0.53	0.31	0.18	0.13	0.06	0.04	0.03	0.02

**Gambar 6.1 Grafik Loss pada Tiap Model**

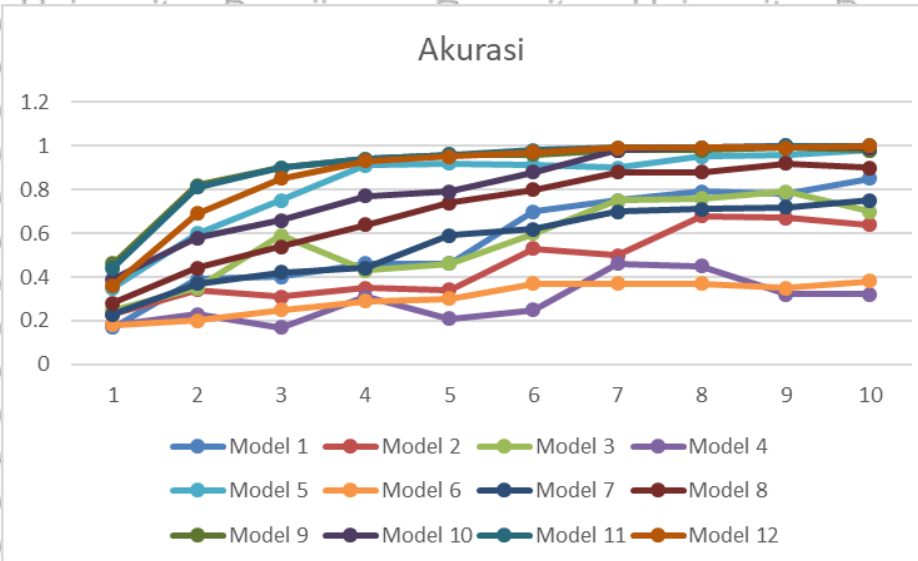
Berdasarkan Tabel 6.1, Tabel 6.2 dan Gambar 6.1 dapat diketahui bahwa ukuran *batch size* sangat memengaruhi hasil rata-rata nilai *loss* pada setiap model. Jika dirata-rata penggunaan *batch size* 8 menghasilkan nilai *loss* tertinggi, dengan *batch size* 16 hasil menjadi lebih baik, dan *batch size* 32 yang memberikan nilai *loss* terkecil. *Batch size* dalam penelitian ini menentukan proses augmentasi citra, jika semakin besar nilainya maka jumlah gambar yang digunakan pelatihan dan pengujian secara otomatis menjadi semakin besar, karena data bisa lebih beragam. Penggunaan *batch size* sangat mempengaruhi waktu komputasi yang diperlukan untuk proses learning seperti yang ditunjukkan pada Tabel 6.4. Selain *batch size*, perbedaan jumlah filter juga memengaruhi nilai *loss*, jumlah filter konvolusi yang lebih besar menghasilkan nilai *loss* yang lebih kecil. Ini dikarenakan lebih banyak data yang bisa terekam oleh sistem. Model 5, Model 9, Model 10, Model 11 dan Model 12 adalah model yang memiliki nilai *loss* dibawah 0.1, dan bisa dibuktikan pula dengan nilai akurasi pada Gambar 6.2.

**Tabel 6.4 Hasil Perekaman Nilai Akurasi**

Model	EP1	EP2	EP3	EP4	EP5	EP6	EP7	EP8	EP9	EP10
1	0.17	0.39	0.40	0.46	0.46	0.70	0.75	0.79	0.78	0.85
2	0.23	0.34	0.31	0.35	0.34	0.53	0.50	0.68	0.67	0.64
3	0.25	0.35	0.59	0.43	0.46	0.60	0.75	0.76	0.79	0.70
4	0.18	0.23	0.17	0.31	0.21	0.25	0.46	0.45	0.32	0.32
5	0.35	0.60	0.75	0.91	0.92	0.91	0.90	0.95	0.96	0.98

**Tabel 6.5 Hasil Perekaman Nilai Akurasi (lanjutan)**

Model	EP1	EP2	EP3	EP4	EP5	EP6	EP7	EP8	EP9	EP10
6	0.18	0.20	0.25	0.29	0.30	0.37	0.37	0.37	0.35	0.38
7	0.23	0.37	0.42	0.44	0.59	0.62	0.70	0.71	0.72	0.75
8	0.28	0.44	0.54	0.64	0.74	0.80	0.88	0.88	0.92	0.90
9	0.46	0.82	0.90	0.94	0.96	0.96	0.98	0.98	0.99	0.98
10	0.39	0.58	0.66	0.77	0.79	0.88	0.98	0.99	1.00	0.99
11	0.44	0.81	0.90	0.94	0.96	0.98	0.99	0.99	1.00	1.00
12	0.36	0.69	0.85	0.93	0.95	0.97	0.99	0.99	0.99	1.00

**Gambar 6.2 Grafik Akurasi Setiap Model**

Gambar 6.2 dan Tabel 6.3 menunjukkan semua model yang menggunakan batch size 32 memiliki akurasi di atas 0,95. Hanya model 5 yang termasuk diatas 0,95 akurasi yang menggunakan batch size 16. Berdasarkan evaluasi nilai *loss*, akurasi dan waktu komputasi yang diperlukan dengan 120 data latih dan 40 data uji yang tersusun dari 5 kelas. Arsitektur terbaik adalah Model 5, yang dengan parameter 16 batch size, 32 filter untuk konvolusi layer 1 dan 64 filter untuk konvolusi layer dengan *fully connected* layer berjumlah 20.

**Tabel 6.6 Waktu komputasi proses learning**

Model	Waktu komputasi
Model 1	3,5 detik
Model 2	3,78 detik
Model 3	2,84 detik
Model 4	2,99 detik
Model 5	8,62 detik
Model 6	8,59 detik
Model 7	8 detik
Model 8	7,66 detik

Tabel 6.7 Waktu komputasi proses *learning* (lanjutan)

<b>Model</b>	<b>Waktu komputasi</b>
Model 9	26,2 detik
Model 10	25,91 detik
Model 11	24,51 detik
Model 12	24,36 detik

## 6.2 Pengujian Akurasi pada Video

Pengujian ini bertujuan untuk mengetahui hasil kemampuan sistem dalam melakukan prediksi dalam dunia nyata. File video yang digunakan berdurasi 101 detik yang terdiri dari 3049 frame. Di dalam video tersebut terdapat 10 orang yang menggerakkan matanya dalam berbagai kondisi. Pengujian dilakukan dengan menggunakan *random sampling* sebanyak 50 frame dari keseluruhan dan diulang sebanyak tiga kali. Model CNN yang dipilih digunakan pada pengujian ini adalah Model 5. Hasil dari pengujian Model 5 terhadap *random sampling* pada video ditunjukkan oleh Tabel 6.5.

**Tabel 6.8 Hasil akurasi *random sampling* video.**

Nama Percobaan	Prediksi Tepat	Prediksi Salah	Akurasi
Percobaan 1	48	2	0,96
Percobaan 2	48	2	0,96
Percobaan 3	47	3	0,94

Dari hasil pengujian pada Tabel 6.5, pada percobaan pertama dan kedua algoritme berhasil mengklasifikasikan dengan benar 48 dari 50 citra, dan percobaan ketiga berhasil mengklasifikasikan 47 dari 50 citra, sehingga nilai rata-rata akurasi dari ketiga percobaan di atas adalah 0,953. Contoh gambar hasil klasifikasi yang benar ditunjukkan oleh Gambar 6.3 sedangkan hasil klasifikasi yang salah ditunjukkan oleh Gambar 6.4.

Repository Universitas Brawijaya  
Repository Univ



**Gambar 6.3 Contoh Hasil Klasifikasi Arah Mata yang Benar**



**Gambar 6.4 Contoh Hasil Klasifikasi Arah Mata yang Salah**

Repository Universitas Brawijaya  
ijaya

## 7.1 Kesimpulan

Berdasarkan hasil dari pengujian dan analisis yang sudah dilakukan, kesimpulan hasil yang didapatkan adalah dalam membangun arsitektur model *Convolution Neural Network* untuk klasifikasi arah mata membutuhkan 2 layer konvolusi dengan 32 filter untuk layer 1 dan 64 filter untuk layer 2. Menggunakan batch size sejumlah 16 dalam augmentasi citra dengan 20 *fully connected* menghasilkan nilai loss 0,08, dengan akurasi 0,98 dan waktu pelatihan 8,62 detik. Model tersebut kemudian dilakukan uji terhadap video yang diambil 50 frame secara acak sebanyak tiga kali, menghasilkan rata-rata akurasi sebesar 0,95.

## 7.2 Saran

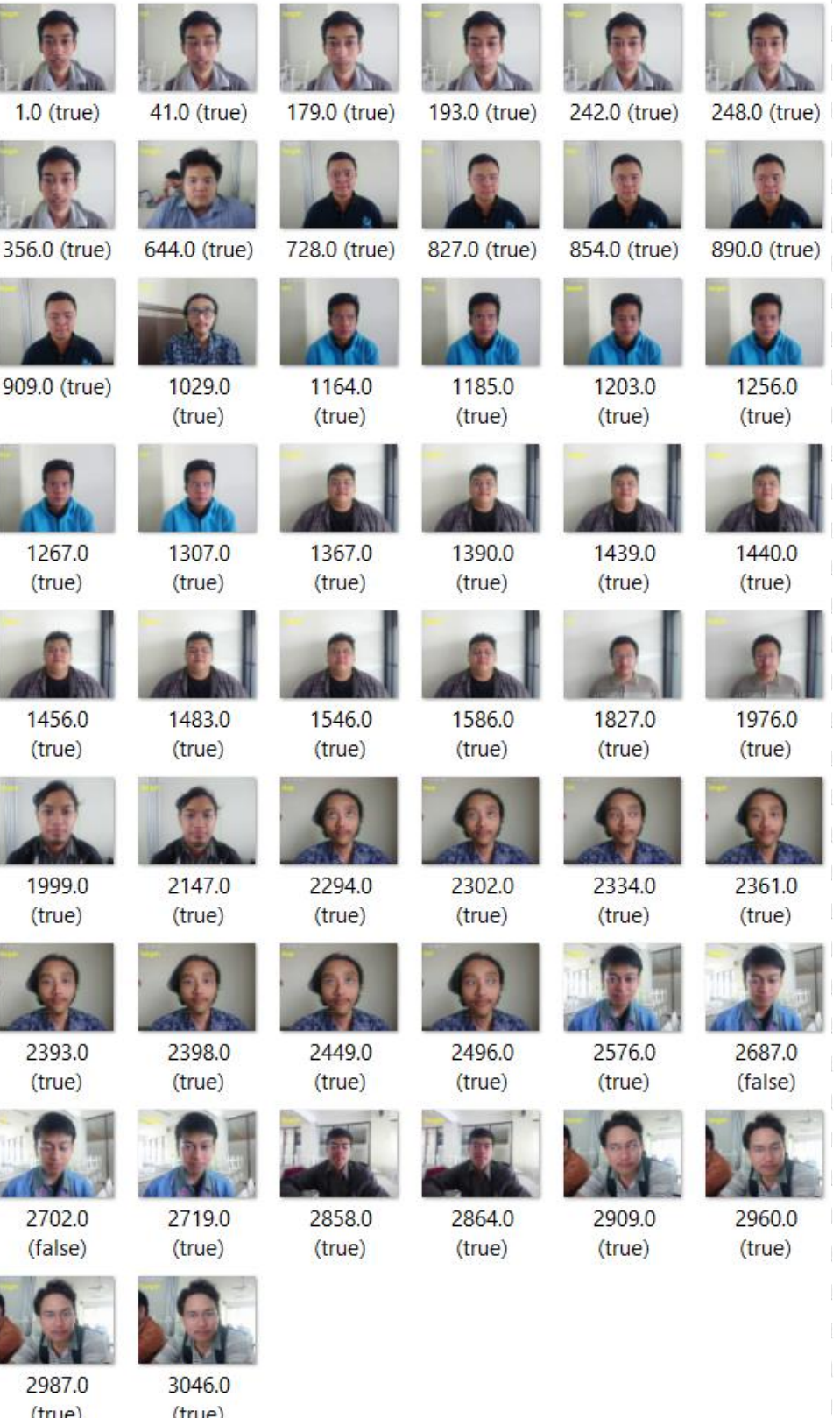
Penelitian ini jauh dari sempurna dan masih banyak yang perlu ditingkatkan. Diharapkan semoga penelitian yang akan datang bisa dilakukan memperbaiki supaya menjadi lebih baik. Adapun saran yang dapat berguna untuk penelitian selanjutnya adalah diharapkan untuk penelitian berikutnya jumlah *dataset* diperbanyak dengan segala kondisi pencahayaan, arah, jarak dan sudut pengambilan karena dalam penelitian ini, citra wajah untuk pelatihan dan pengujian jumlahnya sangat terbatas.

**DAFTAR REFERENSI**

- Abhirawa, Halprin, Jondri dan Anditya Arifianto. 2017. *Pengenalan Wajah Menggunakan Convolutional Neural Network*. Bandung : Universitas Telkom.
- Ahmad Hania, Abu., 2017. Mengenal Artificial Intelligence, Machine Learning, Neural Network, dan Deep Learning. *Jurnal Teknologi Indonesia*.
- Atturmudzi, Aji., 2008. *Eye Detection Menggunakan Template Matching, Algoritma Genetika, dan Hough Transform*. Bandung: Institut Teknologi Telkom.
- A. Benoit, A. Caplier, and L. Bonnaud, 2005. Gaze direction estimation tool based on head motion analysis or iris position estimation. In 2005 13th European Signal Processing Conference (pp. 1-4).
- B. Kroon, S. Maas, S. Bougħorbel, and A. Hanjalic., 2009. Eye localization in low and standard definition content with application to face matching. *Comput. Vis. Image Underst.*, vol. 113, no. 8, pp. 921–933.,
- Danukusumo, Kefin Pudi., 2017. *Implementasi Deep Learning Menggunakan Convolutional Neural Network Untuk Klasifikasi Citra Candi Berbasis GPU*. Yogyakarta : Universitas Atma Jaya.
- Duchowski, A., 2002. A breadth-first survey of eye-tracking applications. *Behavior Research Methods, Instruments, & Computers*, 34(4), pp.455-470.
- Hammal, Z., Massot, C., Bedoya, G. and Caplier, A., 2005. Eyes Segmentation Applied to Gaze Direction and Vigilance Estimation. In: Pattern Recognition and Image Analysis. [online] Springer Berlin Heidelberg. pp.236–246. Available at: <[http://dx.doi.org/10.1007/11552499\\_27](http://dx.doi.org/10.1007/11552499_27)>.
- Kazemi, Vahid. Sullivan, Josephine., 2014. *One Millisecond Face Alignment with an Ensemble of Regression Trees*. Stockholm : KTH Royal Institute of Technology.
- Kim, K.-N., Ramakrishna, R.S., 1999. Vision-based Eyegaze Tracking for Human Computer Interface. In: *IEEE Int. Conf. On Systems, Man, and Cybernetics*, vol. 2, pp. 324–329
- Matsumoto, Y., Zelinsky, A., 2000. An algorithm for real-time stereo vision implementation of head pose and gaze direction measurement. In: *Proceedings of IEEE fourth Int. Conf. on Face and Gesture Recognition*, pp. 499–505
- N. Edenborough, R. Hammoud, A. Harbach, A. Ingold, B. Kisacanin, P. Malawey, T. Newman, G. Scharenbroch, S. Skiver, M. Smith, A. Wilhelm, G. Witt, E. Yoder, and H. Zhang., 2005. Driver state monitor from DELPHI. In 2005 IEEE Computer Society Conference on Computer Vision and Pattern Recognition (CVPR'05) (pp. 1206-1207 vol. 2).

- Repository Universitas Brawijaya  
Ohtera, R., Horiuchi, T., Kotera, H., 2006. *Eye-gaze Detection from Monocular Camera Image Based on Physiological Eyeball Models*. In: IWAIT2006. Proc. International Workshop on Advanced Image Technology, pp. 639–664.
- Ohtera, R., Horiuchi, T., Tominaga, S., 2007. *Eye-gaze Detection from Monocular Camera Image Using Parametric Template matching*. In: ACCV2007. Part 1, LNCS, pp. 708–717.
- Pavljić-Premrl, D., Waterston, J., McGuigan, S., Infeld, B., Sultana, R., O'Sullivan, R. and Gerraty, R.P., 2015. Importance of spontaneous nystagmus detection in the differential diagnosis of acute vertigo. *Journal of Clinical Neuroscience*, [online] 22(3), pp.504–507. Available at: <<http://dx.doi.org/10.1016/j.jocn.2014.09.011>>.
- Putra, D., 2010. *Pengolahan Citra Digital*. Yogyakarta: ANDI.
- Solem, J. Erik, 2012. *Programming Computer Vision with Python*. O'Reilly Media.
- Suartika, I Wayan, Arya Yudhi Wijaya & Rully Soelaiman, 2016. *Klasifikasi Citra Menggunakan Convolutional Neural Network (CNN) pada Caltech 101*. Surabaya: Jurnal Teknik ITS.
- Syarif, Muhammad & Wijanarto., 2015. Deteksi Kedipan Mata dengan Haar Cascade Classifier dan Contour untuk Password Login Sistem. *Techno.COM*, Vol. 14, No. 4, pp.242-249.
- Wang, J.G., and Sung, E., 2001. Gaze Determination via Images of Irises. *Image and Vision Computing*, 19, p.891-911.

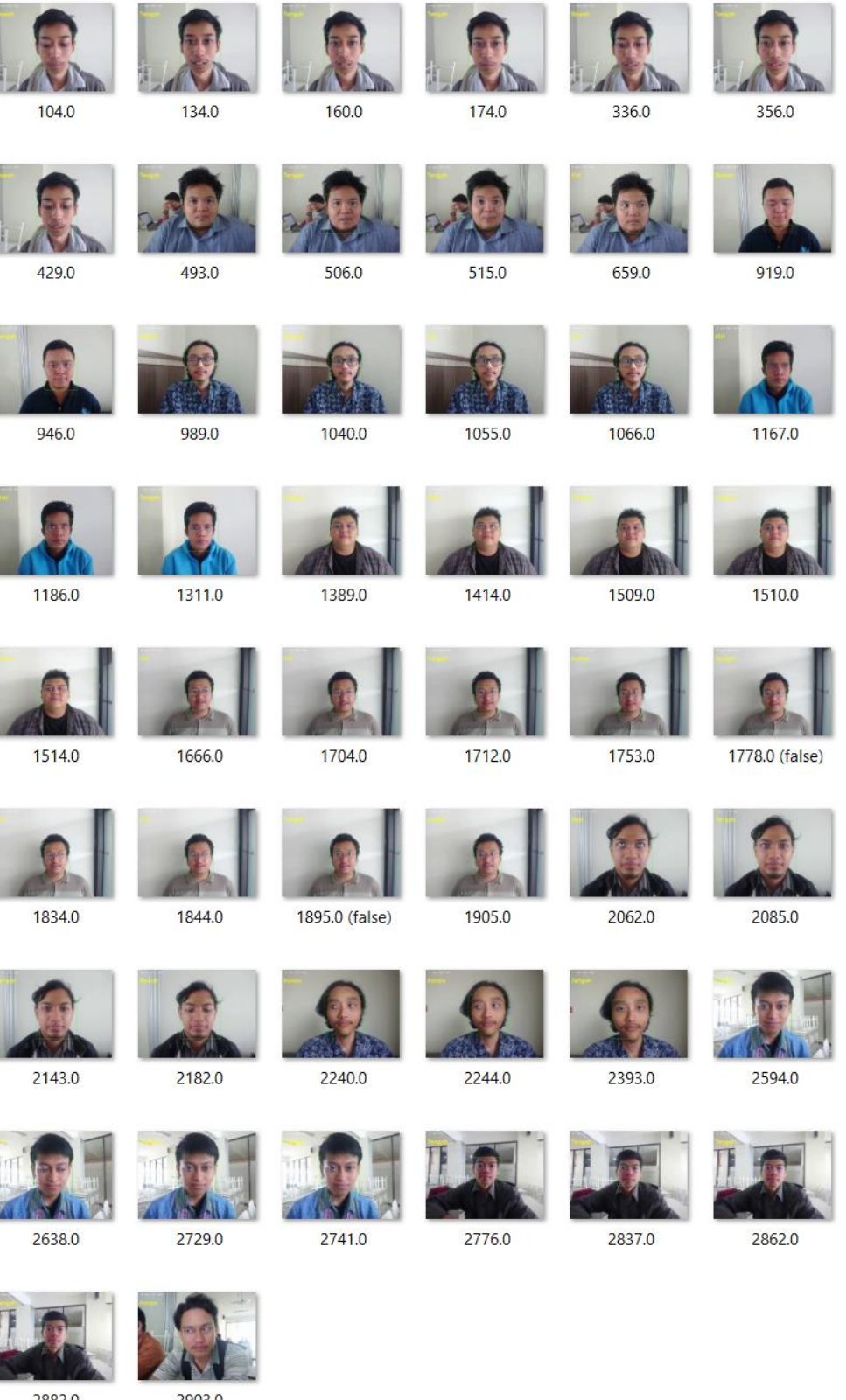
## LAMPIRAN A HASIL RANDOM SAMPLING PERCOBAAN 1a



Repository Universitas Brawijaya  
**LAMPIRAN B HASIL RANCANGAN**  
Repository Universitas Brawijaya

## LAMPIRAN B HASIL RANDOM SAMPLING PERCOBAAN 2

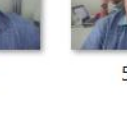
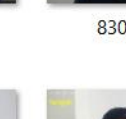
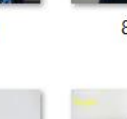
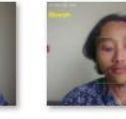
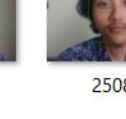
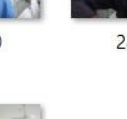
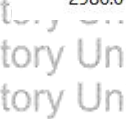
Repository Universitas Brawijaya  
**DOM SAMPLING PERCOBAAN 2**  
Repository Universitas Brawijaya



Repository Universitas Brawijaya  
45 Repository Universitas Brawijaya  
Repository Universitas Brawijaya

Repository Universitas Brawijaya  
Repository Universitas Brawijaya  
Repository Universitas Brawijaya  
Repository Universitas Brawijaya  
Repository Universitas Brawijaya  
Repository Universitas Brawijaya  
**LAMPIRAN C HASIL RANCANGAN**  
Repository Universitas Brawijaya

LAMPIRAN C HASIL RANDOM SAMPLING PERCOBAAN 3a

Repository	Universitas Brawijaya
Deposit	
Deposit	
Deposit	
114.0	118.0
137.0	
Deposit	
Deposit	
Deposit	
504.0	567.0
580.0	
Deposit	
Deposit	
Deposit	
806.0	830.0
842.0	
Deposit	
Deposit	
Deposit	
1178.0	1313.0
1398.0	
Deposit	
Deposit	
Deposit	
1927.0	2001.0
2012.0 (false)	
Deposit	
Deposit	
Deposit	
2331.0	2381.0
2383.0	
Deposit	
Deposit	
Deposit	
2500.0	2508.0
2510.0	
Deposit	
Deposit	
Deposit	
2606.0	2622.0
2806.0	
Deposit	
Deposit	
Deposit	
2986.0	3007.0
3028.0	

Repository Universitas Brawijaya  
**OM SAMPLING PERCOBAAN 3**  
Repository Universitas Brawijaya

File	Speaker	Text
223.0	Tengku	ya
388.0	Tengku	ya
421.0	Tengku	ya
605.0	Tengku	ya
620.0	Tengku	ya
678.0	Tengku	ya
1089.0	Tengku	ya
1093.0	Tengku	ya
1131.0	Tengku	ya
1522.0	Tengku	ya
1523.0 (false)	Tengku	ya
1541.0	Tengku	ya
2091.0	Tengku	ya
2150.0	Tengku	ya
2307.0	Tengku	ya
2429.0	Tengku	ya
2442.0	Tengku	ya
2466.0	Tengku	ya
2511.0	Tengku	ya
2527.0 (false)	Tengku	ya
2565.0	Tengku	ya
2898.0	Tengku	ya
2931.0	Tengku	ya
2941.0	Tengku	ya